



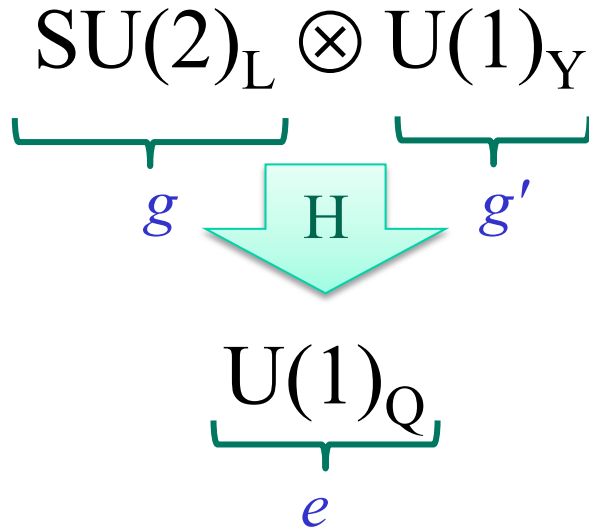
# Il Modello Standard e il bosone di Higgs

Luca Lista

*INFN*



# Il Modello Standard



$$Q = T_3 + Y/2, \quad \tan\theta_W = g'/g \\
 e = g \sin\theta_W$$

- Doppietti leptoni (L) ( $\nu_L, l_L$ ):  $Y = -1$
- Doppietti quark (u, d):  $Y = 1/3$
- Singoletti leptoni (R)  $l_R$ :  $Y = -2$
- Singoletti quark (R)  $q_R$ :  $Y = 4/3, -2/3$

Three Generations of Matter (Fermions)

|                | I   | II                                    | III                                  |                                    |
|----------------|---|---------------------------------------|--------------------------------------|------------------------------------|
| mass→          | 2.4 MeV                                   | 1.27 GeV                              | 171.2 GeV                            | 0                                  |
| charge→        | $2/3$                                     | $2/3$                                 | $2/3$                                | 0                                  |
| spin→          | $1/2$                                     | $1/2$                                 | $1/2$                                | 1                                  |
| name→          | <b>u</b><br>up                            | <b>c</b><br>charm                     | <b>t</b><br>top                      | <b>γ</b><br>photon                 |
|                | 4.8 MeV                                   | 104 MeV                               | 4.2 GeV                              | 0                                  |
|                | $-1/3$                                    | $-1/3$                                | $-1/3$                               | 0                                  |
|                | $1/2$                                     | $1/2$                                 | $1/2$                                | 1                                  |
| <b>Quarks</b>  | <b>d</b><br>down                          | <b>s</b><br>strange                   | <b>b</b><br>bottom                   | <b>g</b><br>gluon                  |
|                | <2.2 eV                                   | <0.17 MeV                             | <15.5 MeV                            | 91.2 GeV                           |
|                | 0   | 0                                     | 0                                    | 0                                  |
|                | $1/2$                                     | $1/2$                                 | $1/2$                                | 1                                  |
|                | <b>ν<sub>e</sub></b><br>electron neutrino | <b>ν<sub>μ</sub></b><br>muon neutrino | <b>ν<sub>τ</sub></b><br>tau neutrino | <b>Z<sup>0</sup></b><br>weak force |
|                | 0.511 MeV                                 | 105.7 MeV                             | 1.777 GeV                            | 80.4 GeV                           |
|                | -1  | -1                                    | -1                                   | $\pm 1$                            |
|                | $1/2$                                     | $1/2$                                 | $1/2$                                | 1                                  |
| <b>Leptons</b> | <b>e</b><br>electron                      | <b>μ</b><br>muon                      | <b>τ</b><br>tau                      | <b>W<sup>±</sup></b><br>weak force |

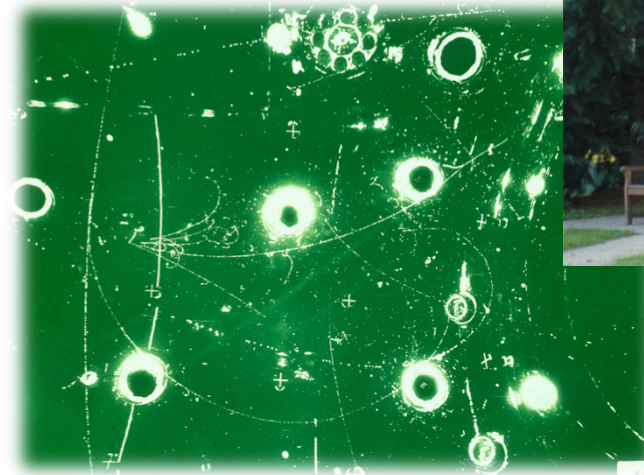
$$M_Z = \sqrt{g^2 + g'^2} \frac{\nu}{2} = \frac{M_W}{\cos\theta_W} \\
 \sin^2\theta_W = 1 - \frac{M_W^2}{M_Z^2}$$



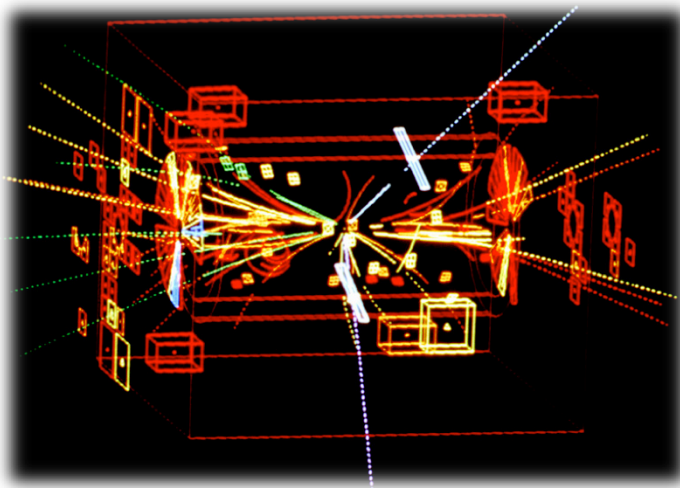
# L'osservazione di W e Z



- Gargamelle (CERN, 1973) misurò reazioni di un fascio di neutrini prodotti dal PS (protoni da 28 GeV)
  - Segnatura: vertice di interazione senza produzione di leptoni
- UA1 e UA2 (CERN, 1983) osservarono la produzione diretta di W e Z in collisioni p-p<sup>bar</sup> all'SPS a 450+450 GeV

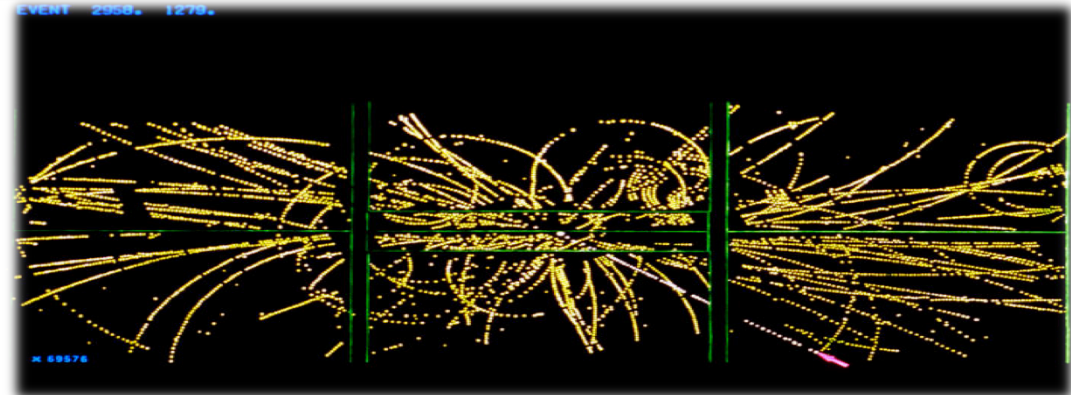


F. J. Hasert et al.,  
Phys. Lett. B46, 138 (1973)



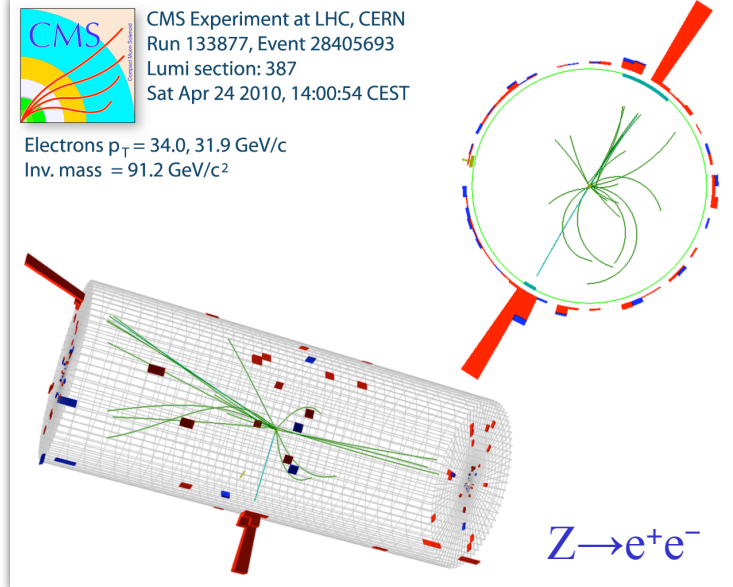
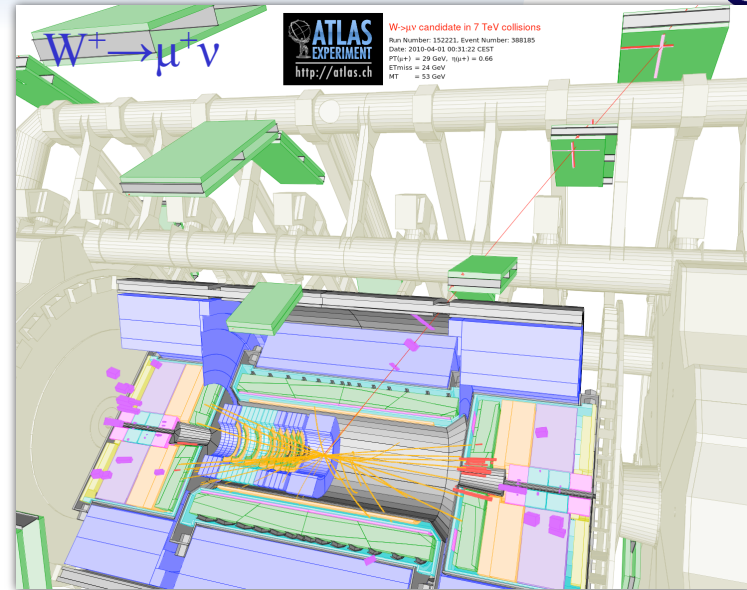
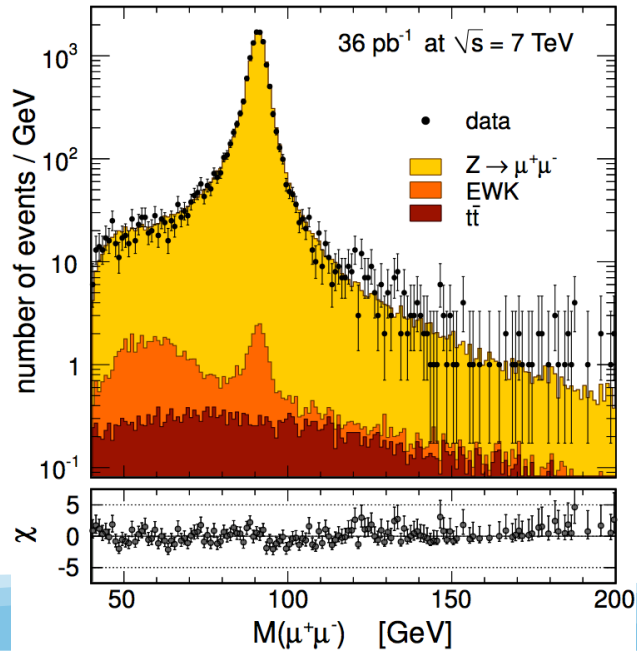
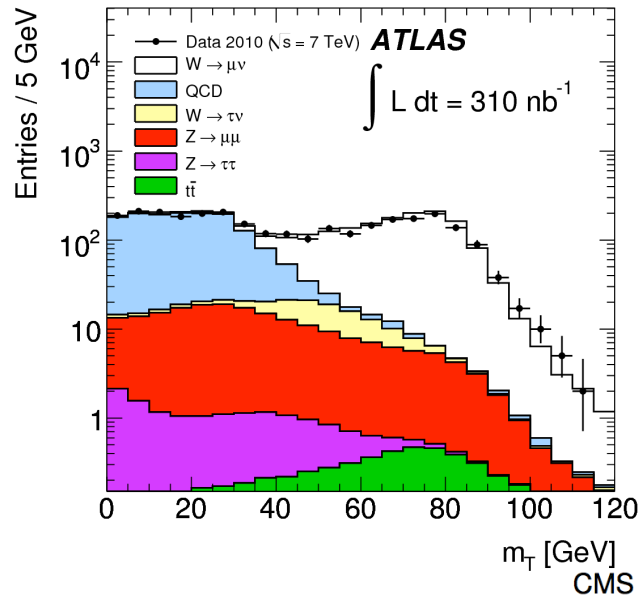
$$Z \rightarrow \mu^+ \mu^-$$

$$W \rightarrow l \nu$$





# W e Z ad LHC (7 TeV)

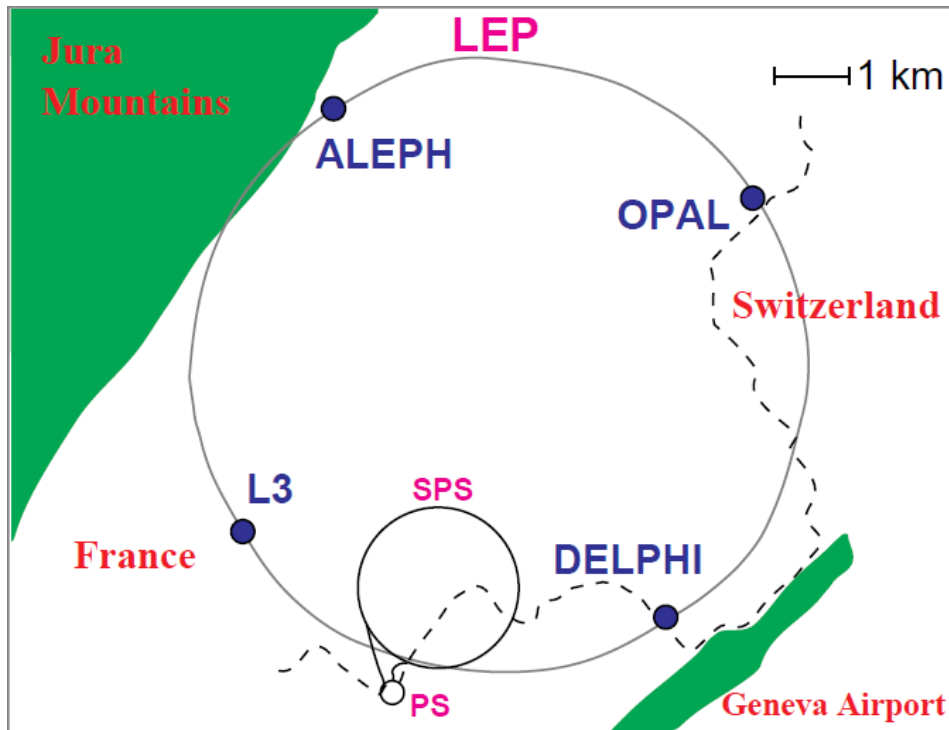




# Verifiche del Modello Standard



- Misure di precisione al LEP e SLC in collisioni elettrone-positrone con energia (1989-2000)
  - Il LEP usò l'attuale tunnel di LHC
- Energia nel c.m. intorno alla massa della Z (risonanza!)
- Misure di precisione da milioni di decadimenti della Z



| Year    | Number of Events ( $\times 10^3$ ) |      |      |      |       |                              |     |     |     |      |
|---------|------------------------------------|------|------|------|-------|------------------------------|-----|-----|-----|------|
|         | $Z \rightarrow q\bar{q}$           |      |      |      |       | $Z \rightarrow \ell^+\ell^-$ |     |     |     |      |
|         | A                                  | D    | L    | O    | LEP   | A                            | D   | L   | O   | LEP  |
| 1990/91 | 433                                | 357  | 416  | 454  | 1660  | 53                           | 36  | 39  | 58  | 186  |
| 1992    | 633                                | 697  | 678  | 733  | 2741  | 77                           | 70  | 59  | 88  | 294  |
| 1993    | 630                                | 682  | 646  | 649  | 2607  | 78                           | 75  | 64  | 79  | 296  |
| 1994    | 1640                               | 1310 | 1359 | 1601 | 5910  | 202                          | 137 | 127 | 191 | 657  |
| 1995    | 735                                | 659  | 526  | 659  | 2579  | 90                           | 66  | 54  | 81  | 291  |
| Total   | 4071                               | 3705 | 3625 | 4096 | 15497 | 500                          | 384 | 343 | 497 | 1724 |

$$m_Z = 91.1875 \pm 0.0021 \text{ GeV}$$

$$\Gamma_Z = 2.4952 \pm 0.0023 \text{ GeV}$$

$$\rho_\ell = 1.0050 \pm 0.0010$$

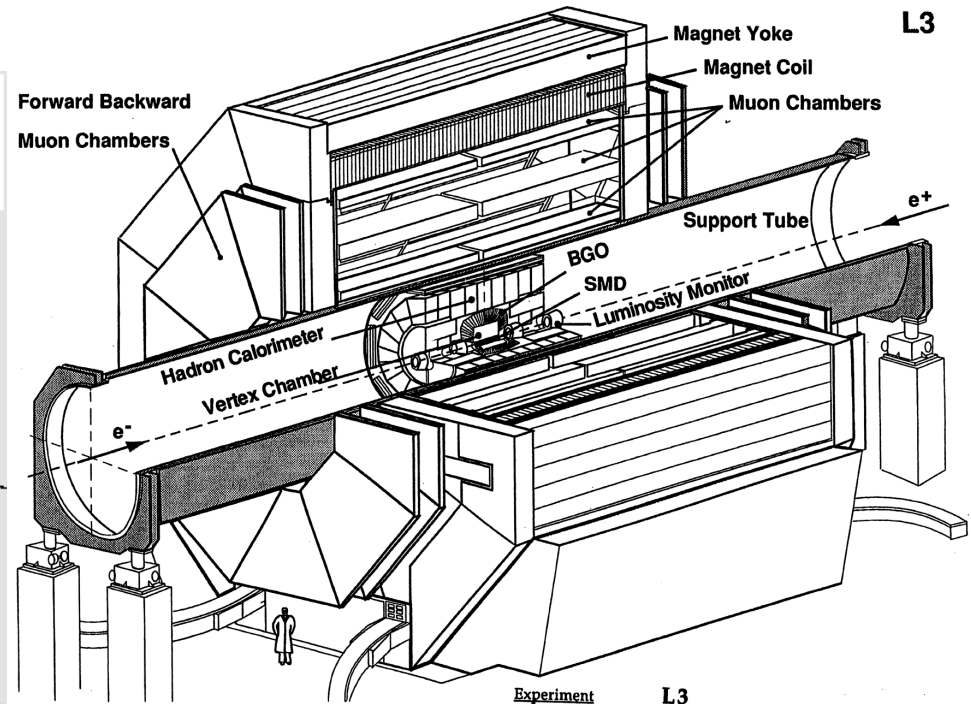
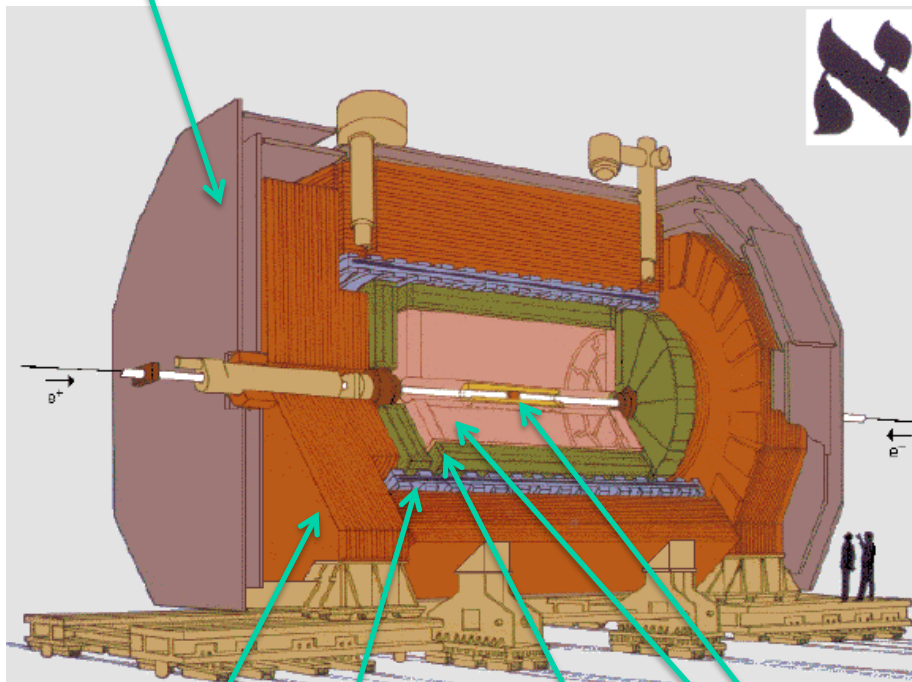
$$\sin^2 \theta_{\text{eff}}^{\text{lept}} = 0.23153 \pm 0.00016.$$



# Due esperimenti LEP: $\mathcal{A}$ e L3



Muon detector



Hadron calorimeter

Superconducting magnet solenoid

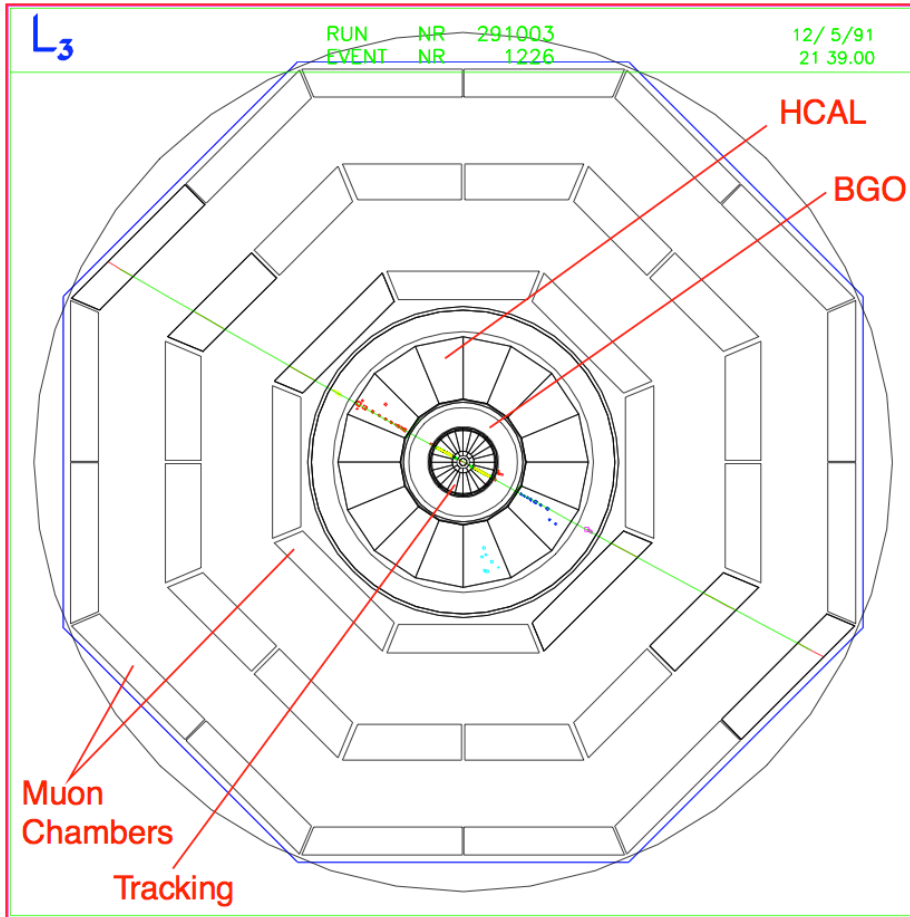
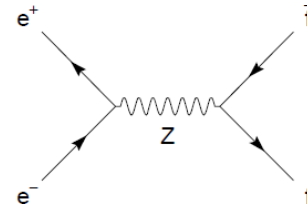
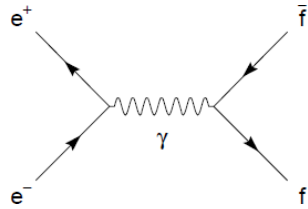
Vertex detector

Tracker (TPC + inner drift chamber)

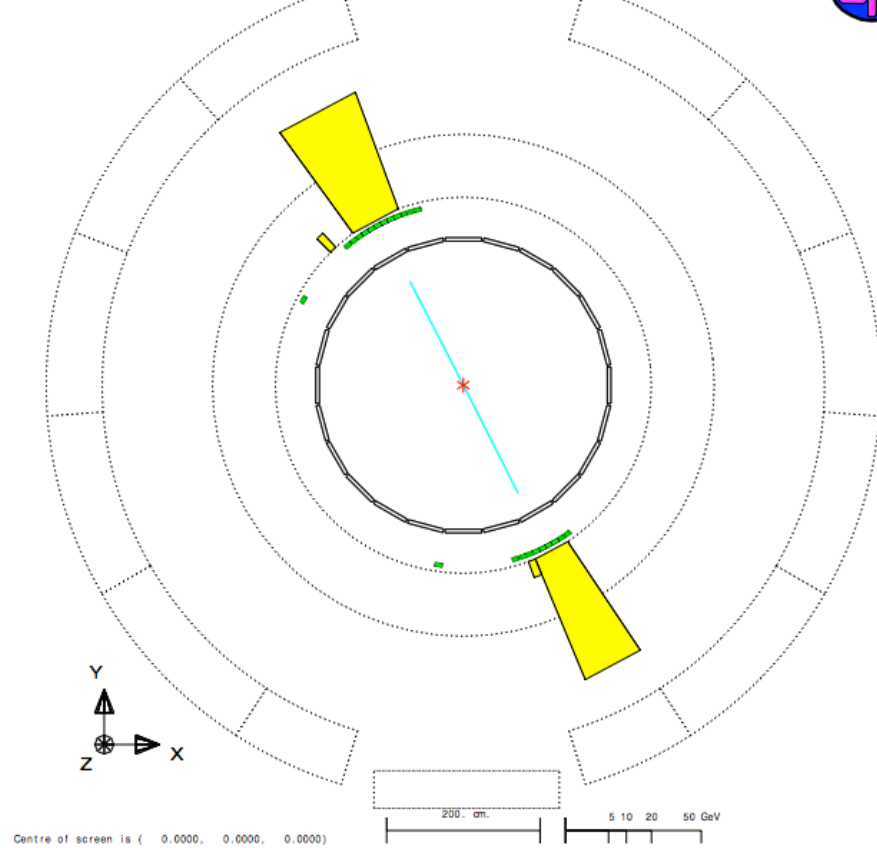
Electromagnetic calorimeter



$$e^+e^- \rightarrow \mu^+\mu^-, e^+e^-$$



```
Run:event 4093: 1150 Date 930527 Time 20751 CirK(N= 2 Sump= 92.4) Ecal(N= 9 SunE= 90.5) Hcal(N= 0 SunE= 0.0)
Ebeam 45.658 Evis 94.4 Emiss -3.1 Vtx ( -0.05, 0.08, 0.38) Muon(N= 0) Sec Vtx(N= 0) Fdet(N= 1 SunE= 0.0)
Bz=4.350 Thrust=0.9979 Aplan=0.0000 Oblat=0.0039 Spher=0.0001
```

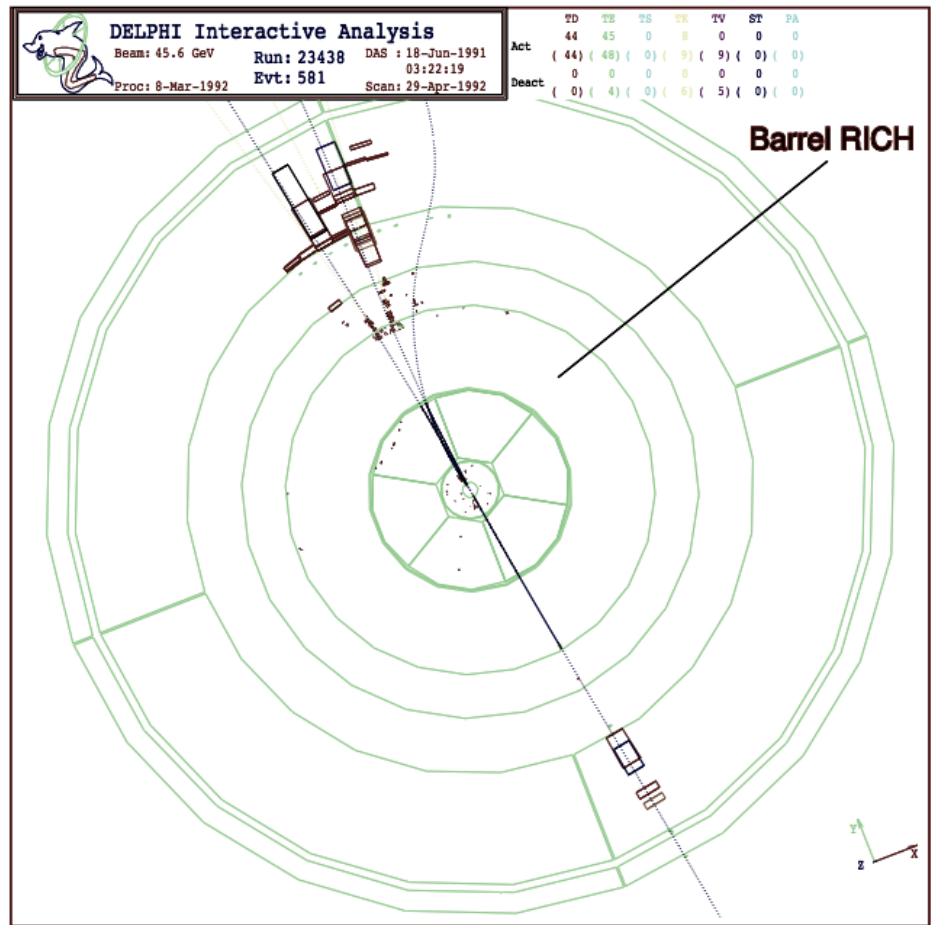
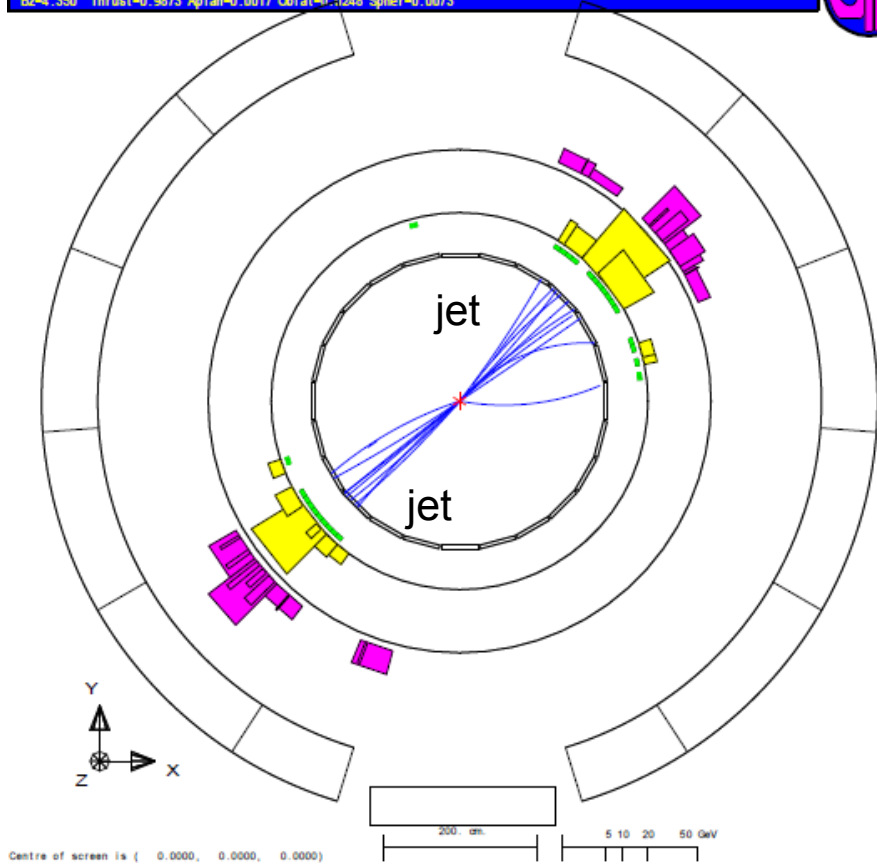




# $e^+e^- \rightarrow qq, \tau^+\tau^-$



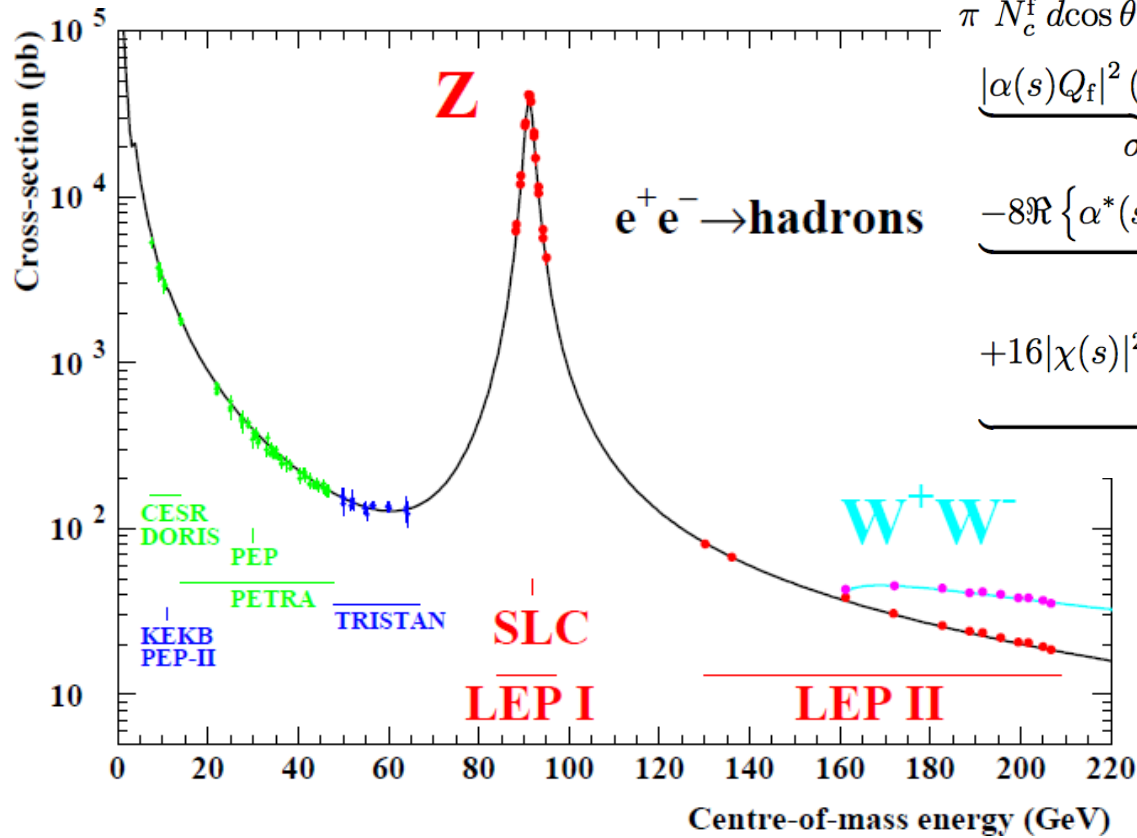
Run: event 4093: 1000 Date 930527 Time 20716 Ctrk(N= 39 Sump= 73.3) Escal(N= 25 SumE= 32.6) Hcal(N=22 SumE= 22.6)  
 Ebeam 45.650 Evis 99.9 Emiss -8.6 Vtx ( -0.07, 0.06, -0.80) Muon(N= 0) Sec Vtx(N= 3) Fdet(N= 0 SumE= 0.0)  
 Bz=4.350 Thrust=0.9873 Aplan=0.0017 Obiat=0.1248 Spher=0.0073







# Line shape della Z



$$\frac{2s}{\pi} \frac{1}{N_c^f} \frac{d\sigma_{ew}}{d\cos\theta}(e^+e^- \rightarrow f\bar{f}) =$$

$$\underbrace{|\alpha(s)Q_f|^2 (1 + \cos^2\theta)}_{\sigma^\gamma}$$

$$\underbrace{-8\Re\left\{\alpha^*(s)Q_f\chi(s)\left[\mathcal{G}_{Ve}\mathcal{G}_{Vf}(1 + \cos^2\theta) + 2\mathcal{G}_{Ae}\mathcal{G}_{Af}\cos\theta\right]\right\}}_{\gamma\text{-Z interference}}$$

$$\underbrace{+16|\chi(s)|^2\left[|\mathcal{G}_{Ve}|^2 + |\mathcal{G}_{Ae}|^2\right]\left[|\mathcal{G}_{Vf}|^2 + |\mathcal{G}_{Af}|^2\right](1 + \cos^2\theta) + 8\Re\left\{\mathcal{G}_{Ve}\mathcal{G}_{Ae}^*\right\}\Re\left\{\mathcal{G}_{Vf}\mathcal{G}_{Af}^*\right\}\cos\theta}_{\sigma^Z}$$

Dove:

$$\chi(s) = \frac{G_F m_Z^2}{8\pi\sqrt{2}} \frac{s}{s - m_Z^2 + is\Gamma_Z/m_Z}$$

$$\mathcal{G}_{Vf} = \sqrt{\mathcal{R}_f} (T_3^f - 2Q_f\mathcal{K}_f \sin^2\theta_W)$$

$$\mathcal{G}_{Af} = \sqrt{\mathcal{R}_f} T_3^f.$$



Parametri del Modello Standard con fattori di forma dovuti a correzioni di ordine superiore

- Le correzioni radiative modificano le relazioni dello SM al tree level:

$$\rho_0 = \frac{m_W^2}{m_Z^2 \cos^2 \theta_W} = 1 \quad \Rightarrow \quad \rho = 1 + \Delta\rho$$

$$\frac{g_{Vf}}{g_{Af}} = \Re\left(\frac{g_{Vf}}{g_{Af}}\right) = 1 - 4|Q_f| \sin^2 \theta_{\text{eff}}^f$$

$$\sin^2 \theta_{\text{eff}}^f \equiv \kappa_f \sin^2 \theta_W$$

$$g_{Vf} \equiv \sqrt{\rho_f} (T_3^f - 2Q_f \sin^2 \theta_{\text{eff}}^f)$$

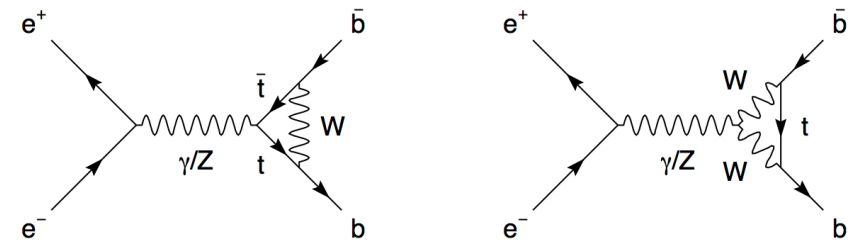
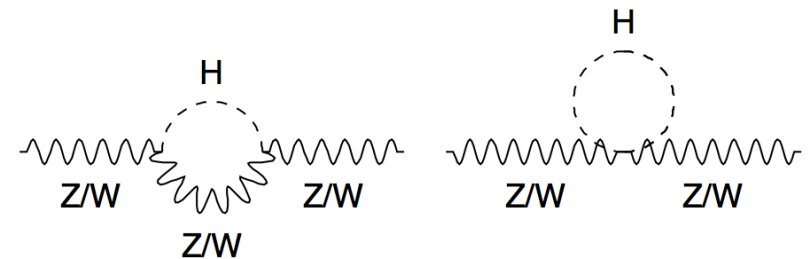
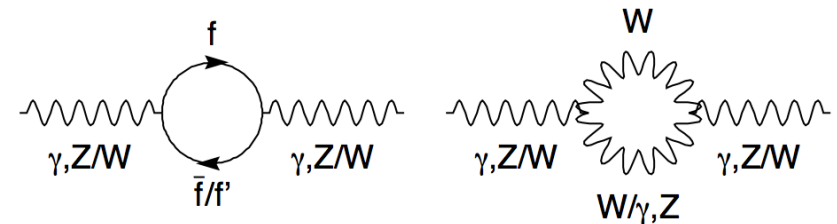
$$g_{Af} \equiv \sqrt{\rho_f} T_3^f,$$

$$\Delta\rho_{\text{se}} = \frac{3G_F m_W^2}{8\sqrt{2}\pi^2} \left[ \frac{m_t^2}{m_W^2} - \frac{\sin^2 \theta_W}{\cos^2 \theta_W} \left( \ln \frac{m_H^2}{m_W^2} - \frac{5}{6} \right) + \dots \right]$$

$$\Delta\kappa_{\text{se}} = \frac{3G_F m_W^2}{8\sqrt{2}\pi^2} \left[ \frac{m_t^2 \cos^2 \theta_W}{m_W^2 \sin^2 \theta_W} - \frac{10}{9} \left( \ln \frac{m_H^2}{m_W^2} - \frac{5}{6} \right) + \dots \right]$$

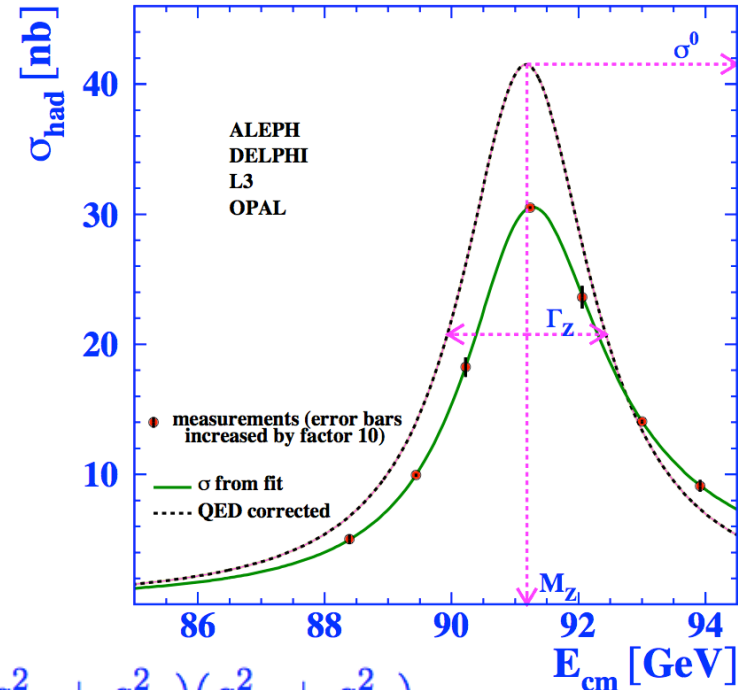
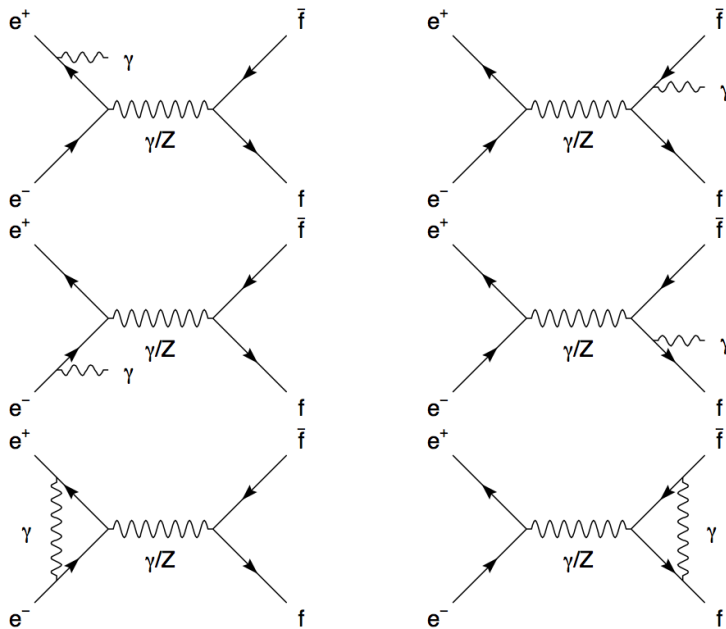
$$\rho_f \equiv \Re(\mathcal{R}_f) = 1 + \Delta\rho_{\text{se}} + \Delta\rho_f$$

$$\kappa_f \equiv \Re(\mathcal{K}_f) = 1 + \Delta\kappa_{\text{se}} + \Delta\kappa_f$$



La produzione bb risente particolarmente della presenza del quark t

- La radiazione di stato iniziale (e finale) distorce la line shape della Z



$$\sigma_{ff} \propto (g_{Ve}^2 + g_{Ae}^2)(g_{Vf}^2 + g_{Af}^2)$$

$$\sigma(s) = \int_{4m_f^2/s}^1 dz H_{\text{QED}}^{\text{tot}}(z, s) \sigma_{\text{ew}}(zs)$$

$$\sigma_{ff}^Z = \sigma_{ff}^{\text{peak}} \frac{s \Gamma_Z^2}{(s - m_Z^2)^2 + s^2 \Gamma_Z^2 / m_Z^2}$$

$$\sigma_{ff}^{\text{peak}} = \frac{1}{R_{\text{QED}}} \sigma_{ff}^0 \quad \sigma_{ff}^0 = \frac{12\pi}{m_Z^2} \frac{\Gamma_{ee} \Gamma_{ff}}{\Gamma_Z^2}$$

$$R_e^0 \equiv \Gamma_{\text{had}} / \Gamma_{ee}, \quad R_u^0 \equiv \Gamma_{\text{had}} / \Gamma_{\mu\mu} \quad \text{and} \quad R_\tau^0 \equiv \Gamma_{\text{had}} / \Gamma_{\tau\tau}$$



# Numero di neutrini leggeri



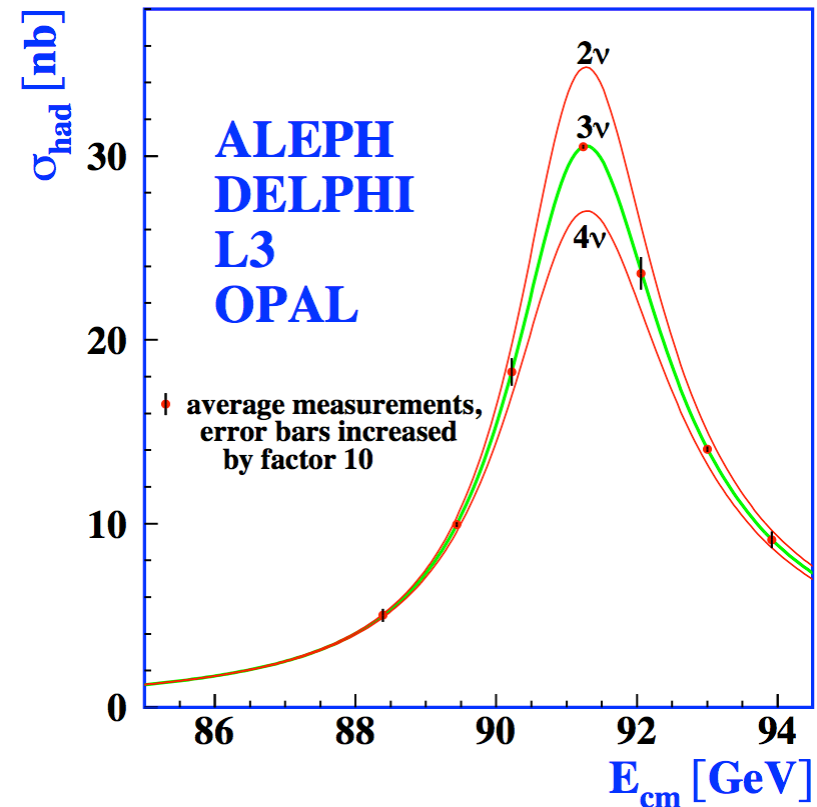
- Il numero di famiglie di neutrini si ricava indirettamente dalla larghezza totale della Z e dalle larghezze parziali di decadimento

$$\Gamma_Z = \Gamma_{ee} + \Gamma_{\mu\mu} + \Gamma_{\tau\tau} + \Gamma_{\text{had}} + \Gamma_{\text{inv}}$$

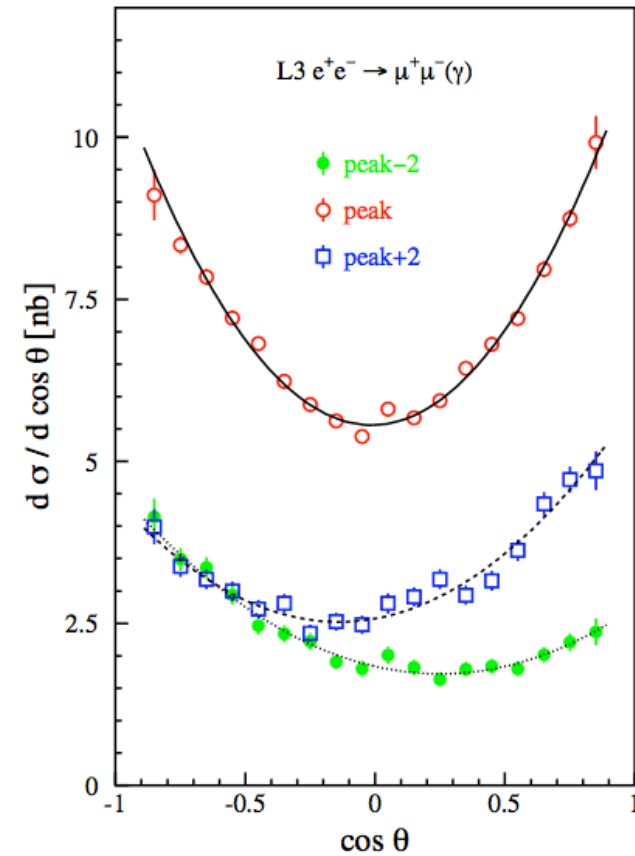
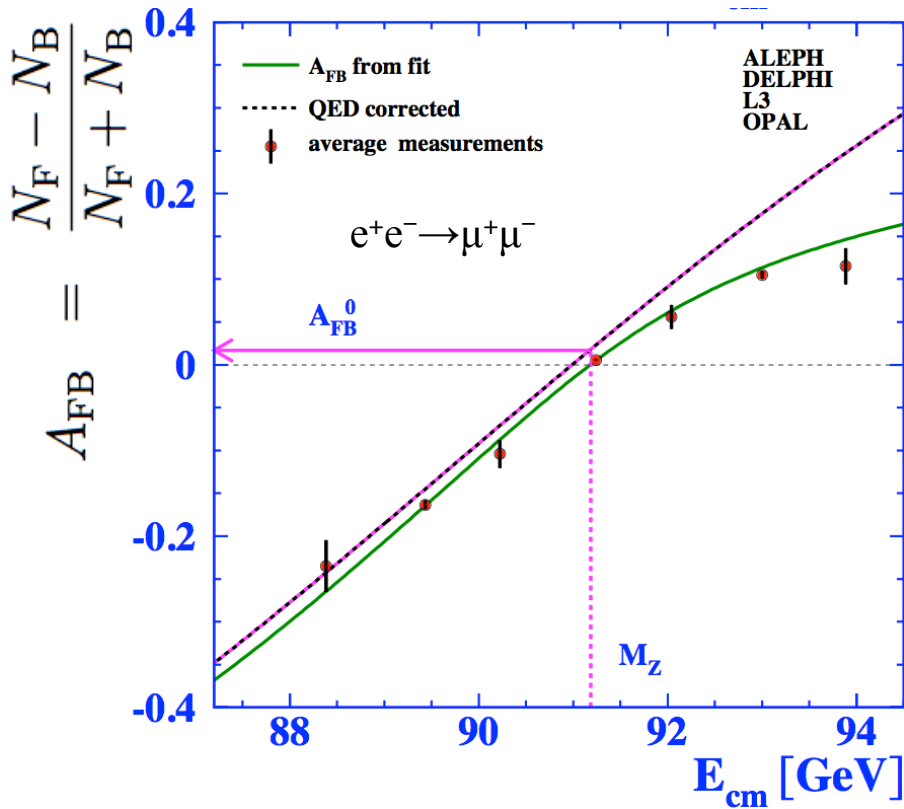
$$R_{\text{inv}}^0 = N_\nu \left( \frac{\Gamma_{\nu\bar{\nu}}}{\Gamma_{\ell\ell}} \right)_{\text{SM}}$$

$$N_\nu = 2.9840 \pm 0.0082$$

... ovviamente, se i neutrini sono leggeri ( $m_\nu < m_Z/2$ )



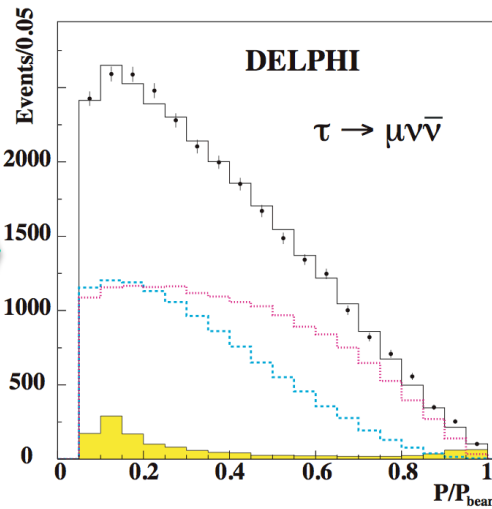
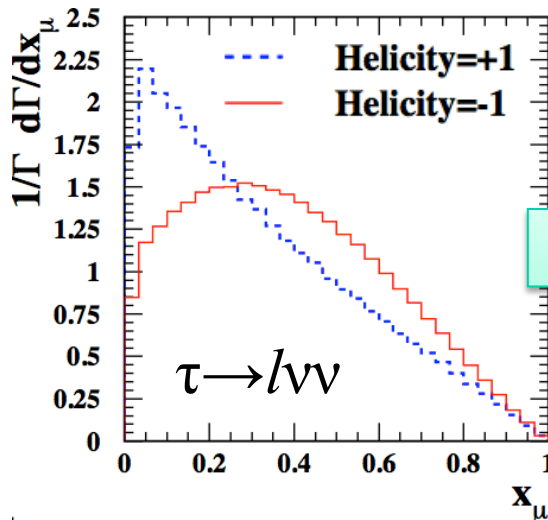
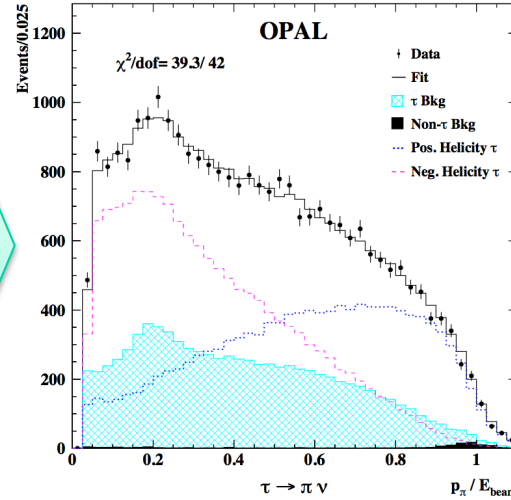
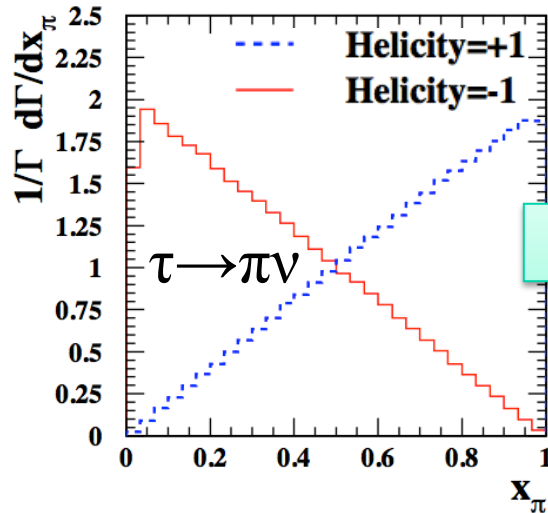
- Misura della sezione d'urto differenziale in funzione di  $\theta$



$$A_{FB}^{0,f} = \frac{3}{4} \frac{2g_{Ve}g_{Ae}}{g_{Ve}^2 + g_{Ae}^2} \frac{2g_{Vf}g_{Af}}{g_{Vf}^2 + g_{Af}^2} \equiv \frac{3}{4} \mathcal{A}_e \mathcal{A}_f \quad \mathcal{A}_f = \frac{g_{Lf}^2 - g_{Rf}^2}{g_{Lf}^2 + g_{Rf}^2} = \frac{2g_{Vf}g_{Af}}{g_{Vf}^2 + g_{Af}^2} = 2 \frac{g_{Vf}/g_{Af}}{1 + (g_{Vf}/g_{Af})^2}$$

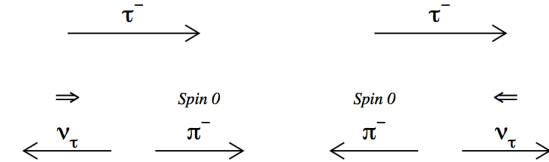


# Polarizzazione stati finali ( $\tau$ )



Momenti misurati nel sistema del laboratorio

$$\mathcal{P}_\tau \equiv (\sigma_+ - \sigma_-)/(\sigma_+ + \sigma_-)$$



$$\frac{1}{\Gamma} \frac{d\Gamma}{d \cos \theta_\pi} = \frac{1}{2} (1 + \mathcal{P}_\tau \cos \theta_\pi)$$

$\theta_\pi$  nel sist. di riferimento a riposo del  $\tau$

$$\frac{1}{\Gamma} \frac{d\Gamma}{dx_\pi} = 1 + \mathcal{P}_\tau (2x_\pi - 1) \quad x_\pi = E_\pi / E_\tau$$

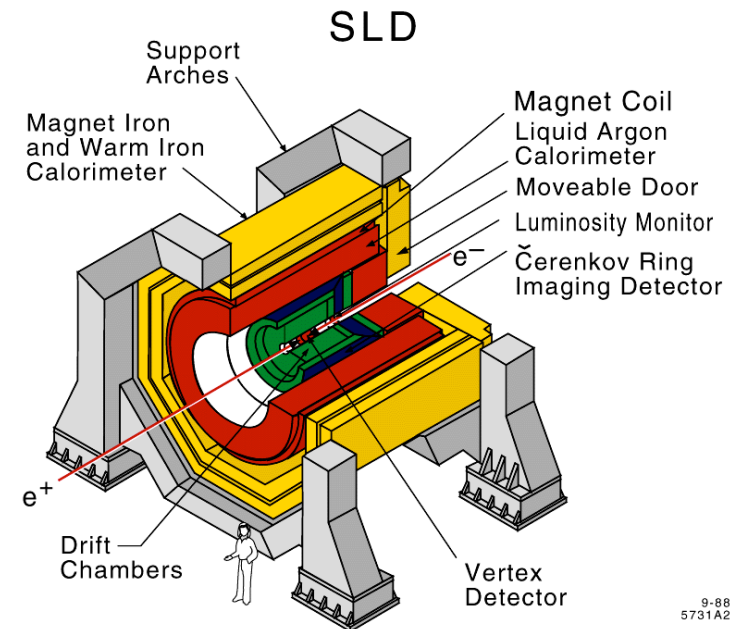
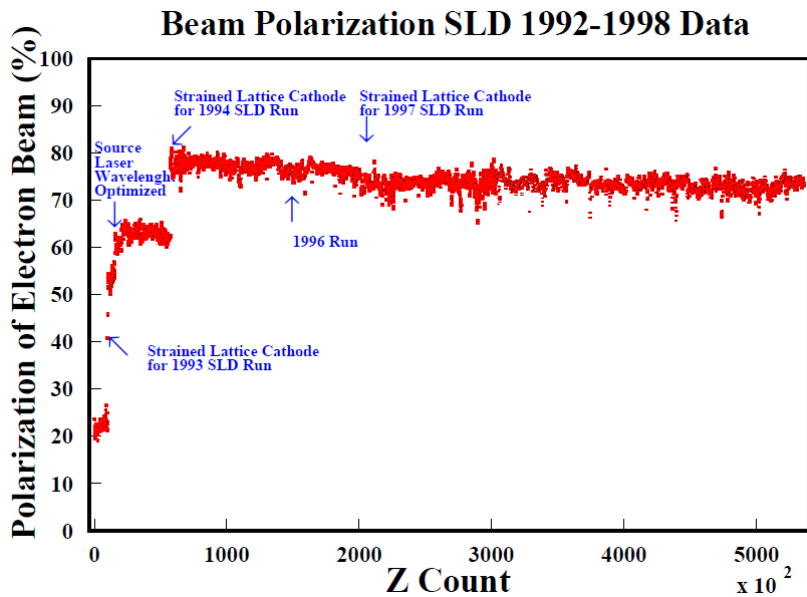
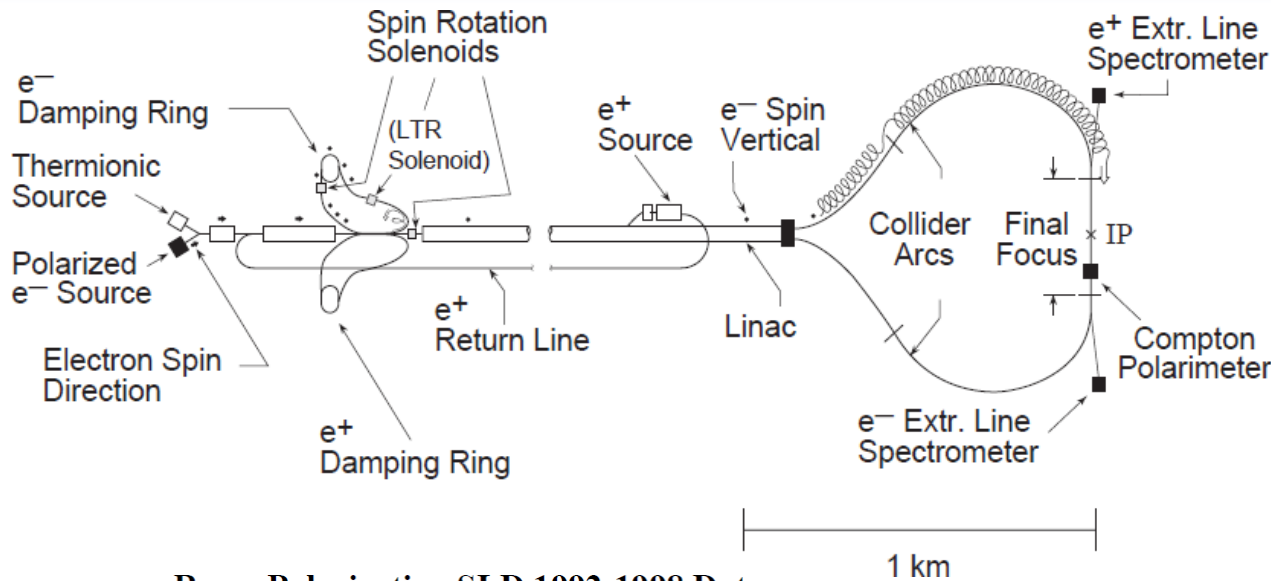
Due neutrini nello stato finale!

$$\frac{1}{\Gamma} \frac{d\Gamma}{dx_\ell} = \frac{1}{3} [(5 - 9x_\ell^2 + 4x_\ell^3) + \mathcal{P}_\tau (1 - 9x_\ell^2 + 8x_\ell^3)]$$

Per decadimenti con  $\rho$  e  $a_1$  si possono fare studi piú complessi delle variabili angolari



# SLC/SLD a SLAC



9-88  
5731A2



# Polarizzazione dei fasci



- La sezione d'urto dipende dalla polarizzazione dei fasci collidenti

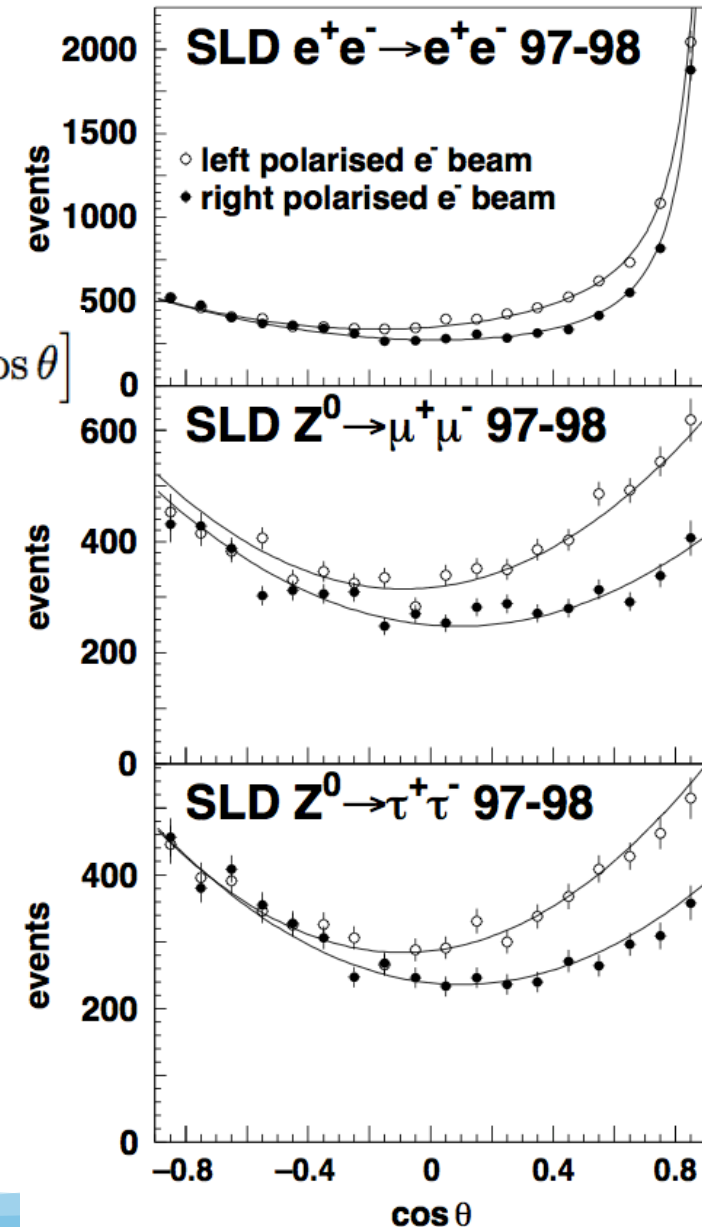
$$\frac{d\sigma_{ff}}{d\cos\theta} = \frac{3}{8}\sigma_{ff}^{\text{tot}} \left[ (1 - \mathcal{P}_e \mathcal{A}_e)(1 + \cos^2\theta) + 2(\mathcal{A}_e - \mathcal{P}_e)\mathcal{A}_f \cos\theta \right]$$

$$\mathcal{A}_f = \frac{g_{L_f}^2 - g_{R_f}^2}{g_{L_f}^2 + g_{R_f}^2} = \frac{2g_{V_f}g_{A_f}}{g_{V_f}^2 + g_{A_f}^2} = 2 \frac{g_{V_f}/g_{A_f}}{1 + (g_{V_f}/g_{A_f})^2}$$

$$A_{\text{FB}} = \frac{\sigma_{\text{F}} - \sigma_{\text{B}}}{\sigma_{\text{F}} + \sigma_{\text{B}}}$$

$$A_{\text{LR}} = \frac{\sigma_{\text{L}} - \sigma_{\text{R}}}{\sigma_{\text{L}} + \sigma_{\text{R}}} \frac{1}{\langle |\mathcal{P}_e| \rangle}$$

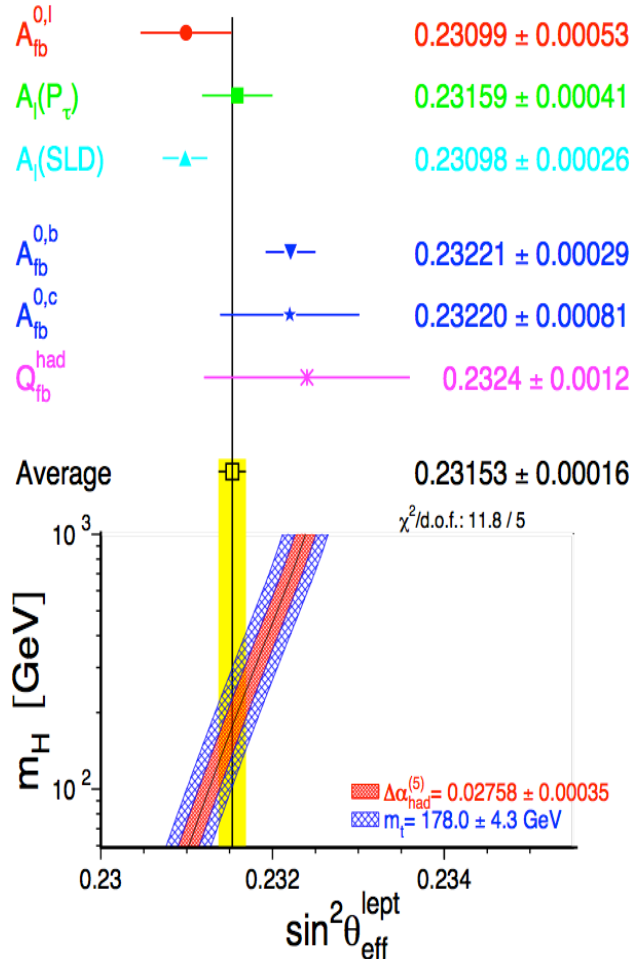
$$A_{\text{LRFB}} = \frac{(\sigma_{\text{F}} - \sigma_{\text{B}})_{\text{L}} - (\sigma_{\text{F}} - \sigma_{\text{B}})_{\text{R}}}{(\sigma_{\text{F}} + \sigma_{\text{B}})_{\text{L}} + (\sigma_{\text{F}} + \sigma_{\text{B}})_{\text{R}}} \frac{1}{\langle |\mathcal{P}_e| \rangle}$$





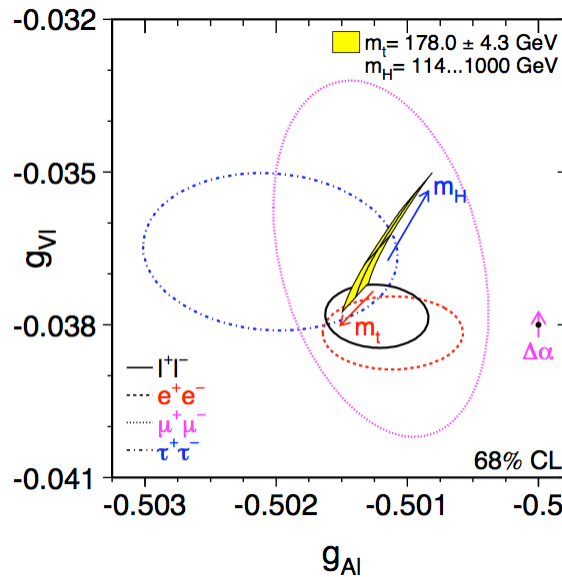


# Mettendo tutto insieme ...

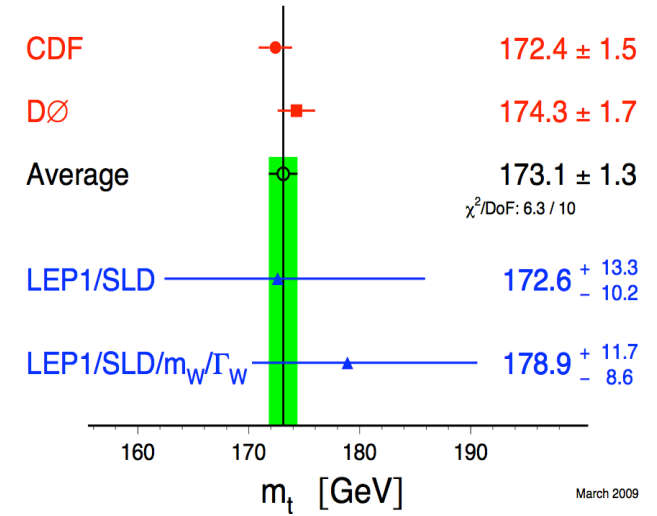


<http://lepewwg.web.cern.ch/LEPEWWG/>

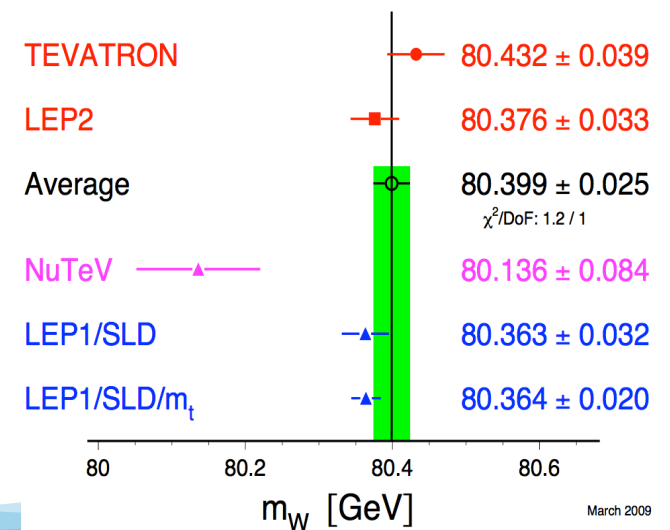
## Universalità leptonica



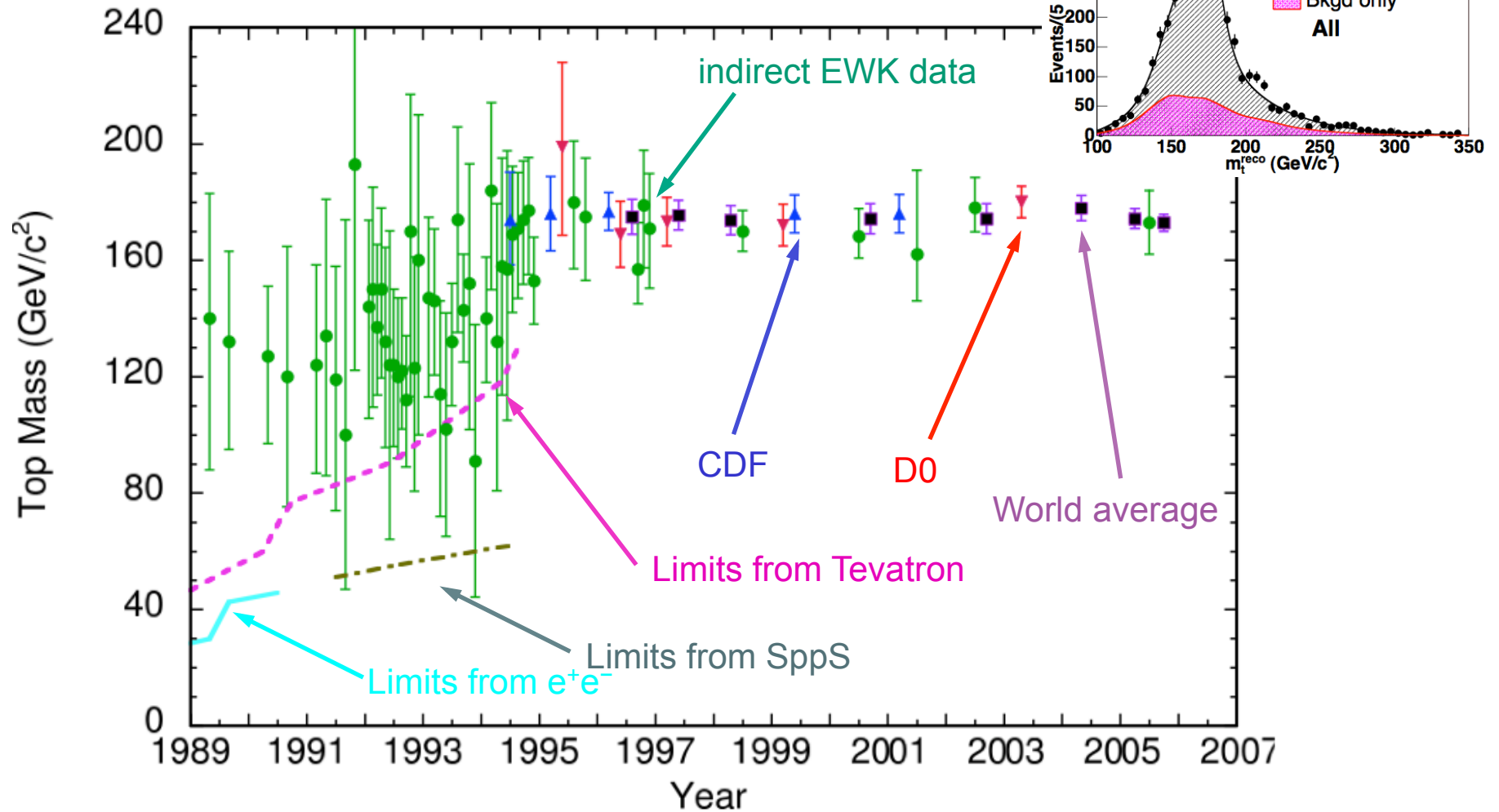
## Top-Quark Mass [GeV]



## W-Boson Mass [GeV]

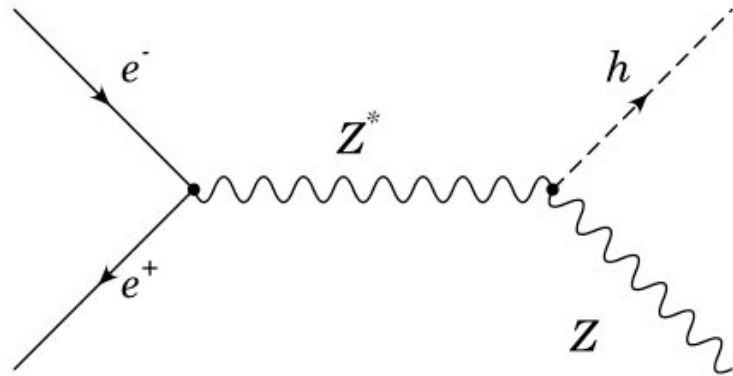


- Misura di  $m_t$  negli anni

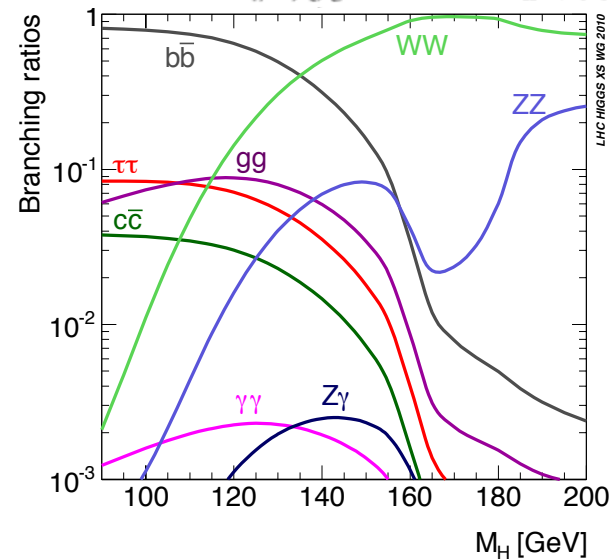
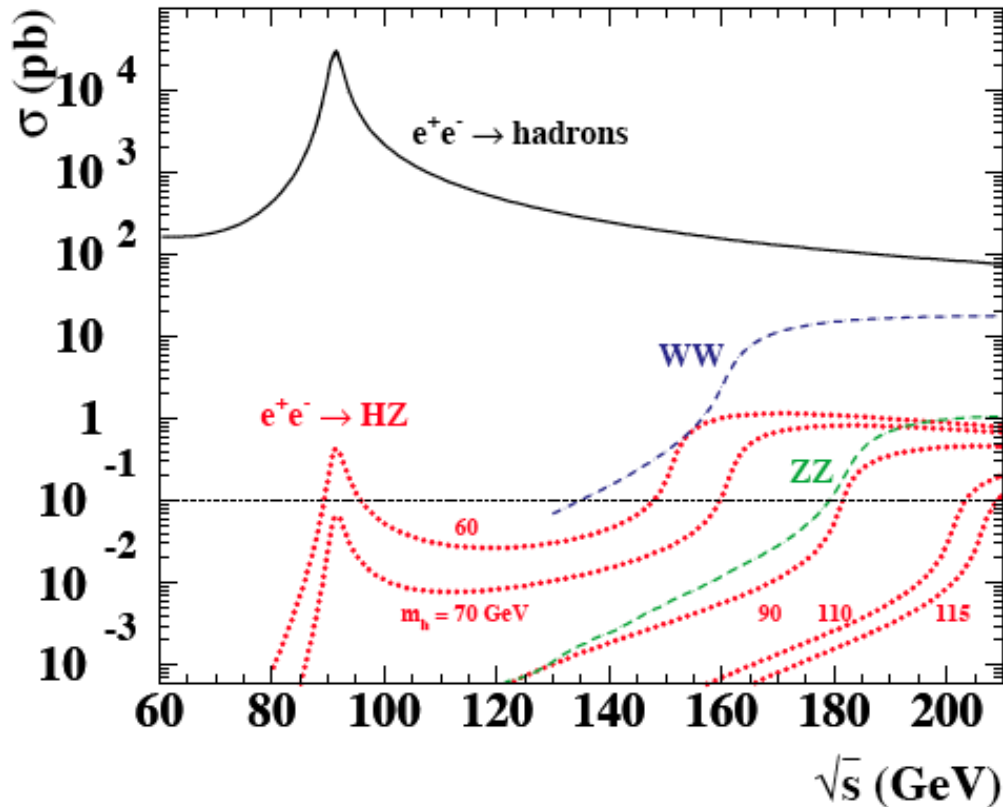
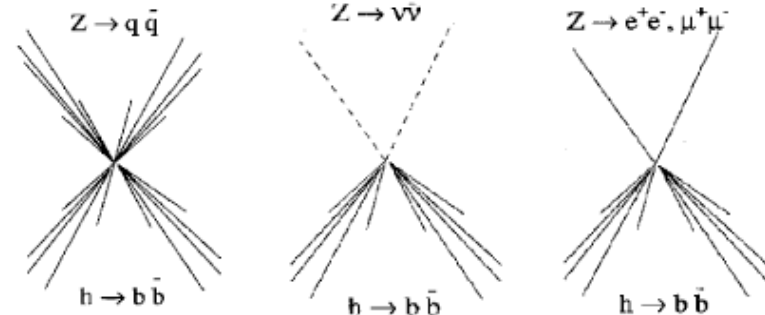




# Produzione di Higgs a LEP

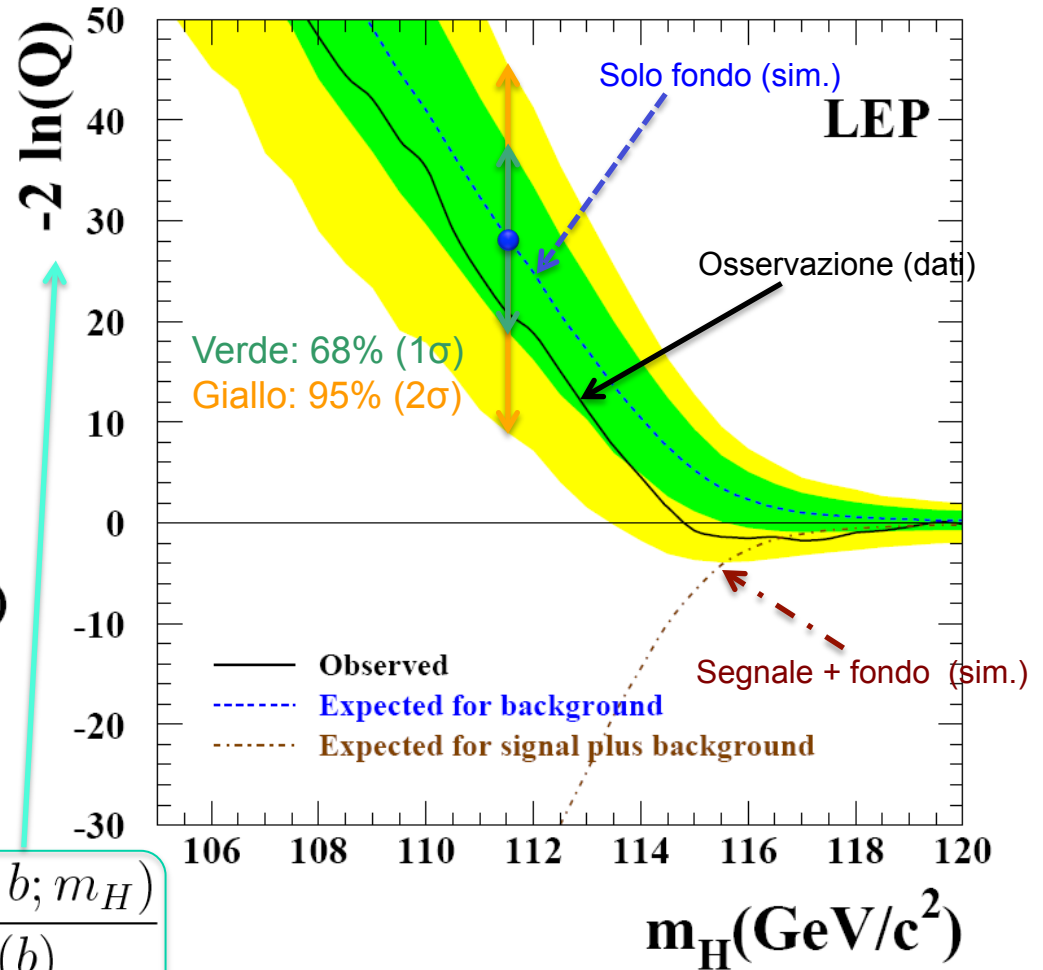
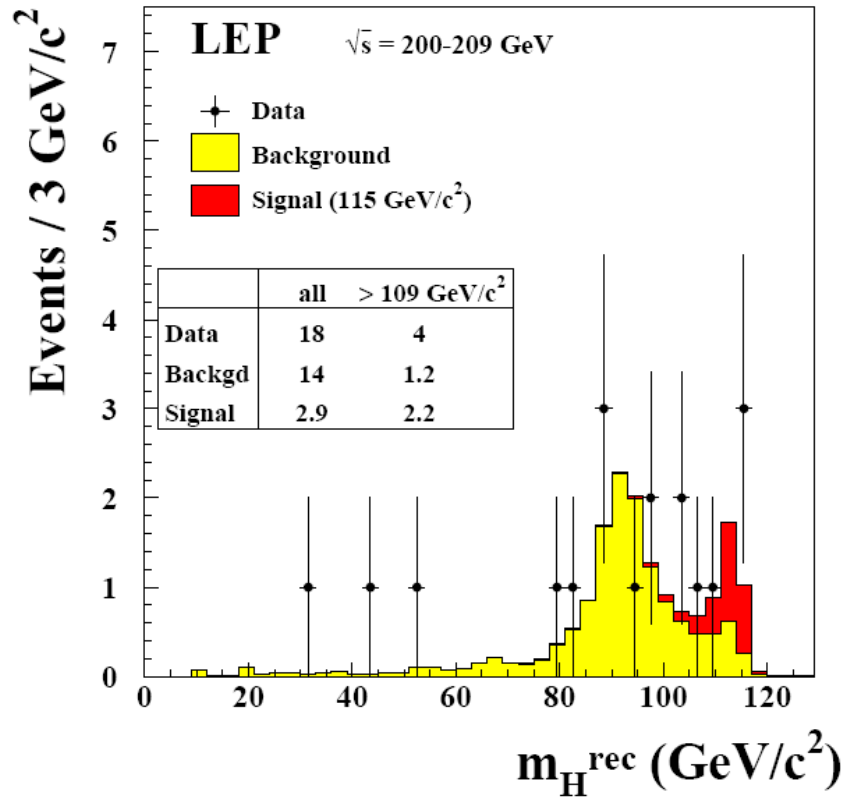


- Necessario avere  $\sqrt{s} \geq m_H + m_Z$
- $\sqrt{s}_{\text{max}} = 209 \text{ GeV} \rightarrow$  sensibilità fino a  $m_H \sim 118 \text{ GeV}$
- L'Higgs decade prevalentemente in  $b\bar{b}$  alle energie di LEP
- I possibili decadimenti della Z producono signature sperimentali diverse





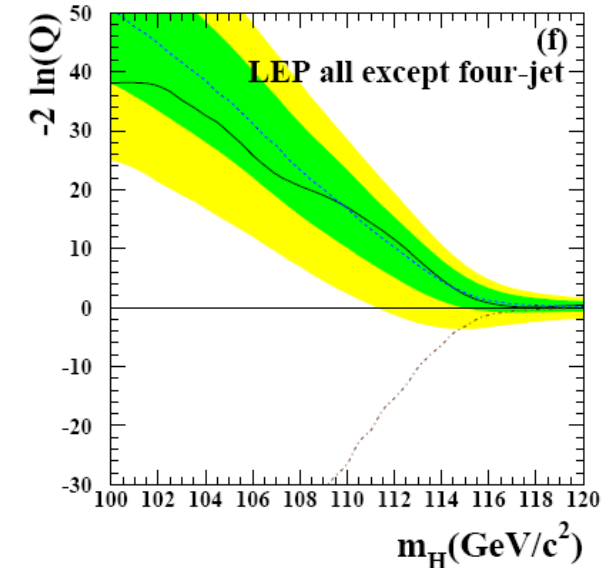
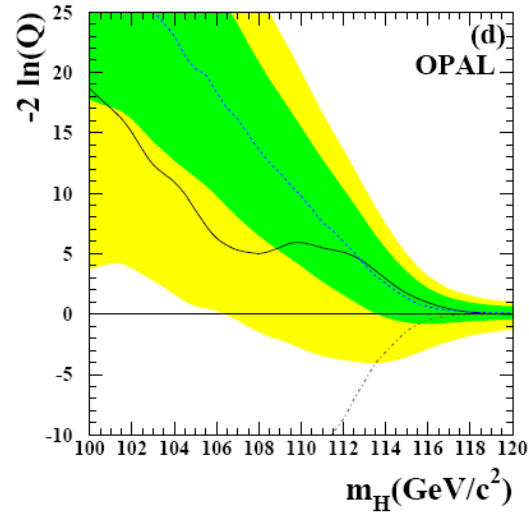
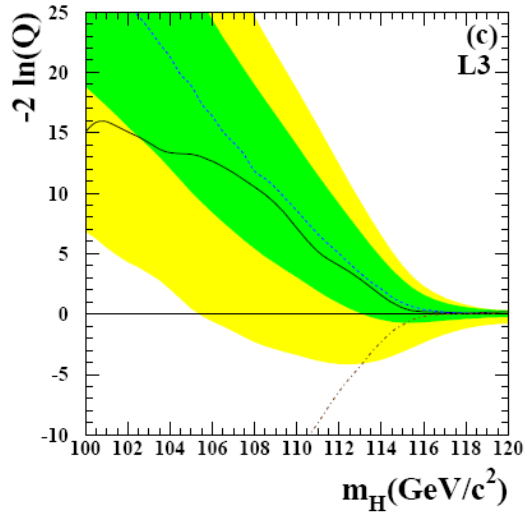
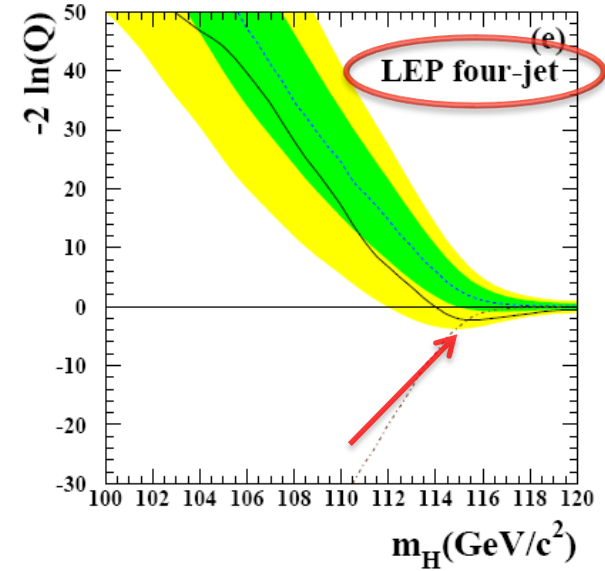
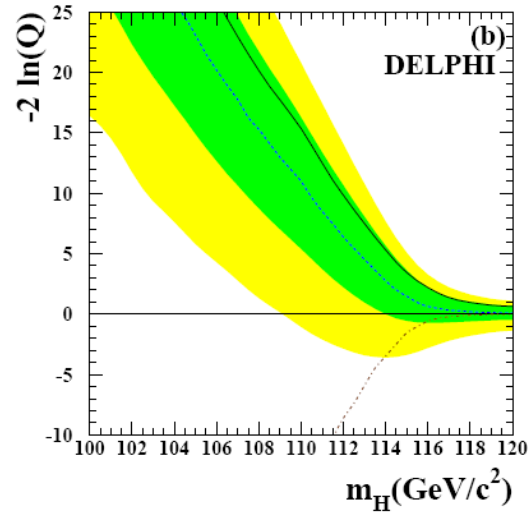
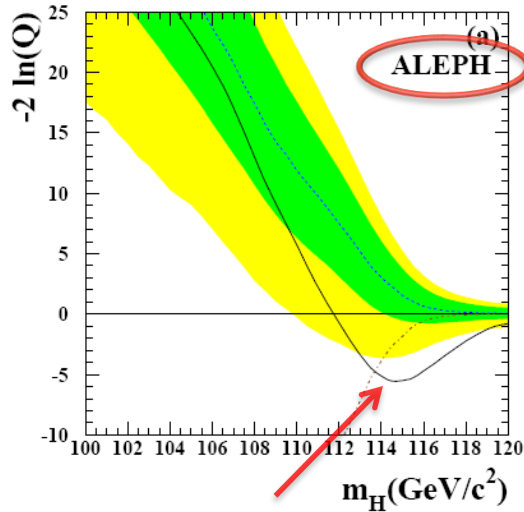
# Ricerca dell'Higgs vs $m_H$



$$-2 \ln Q = -2 \ln \frac{L(s + b; m_H)}{L(b)}$$

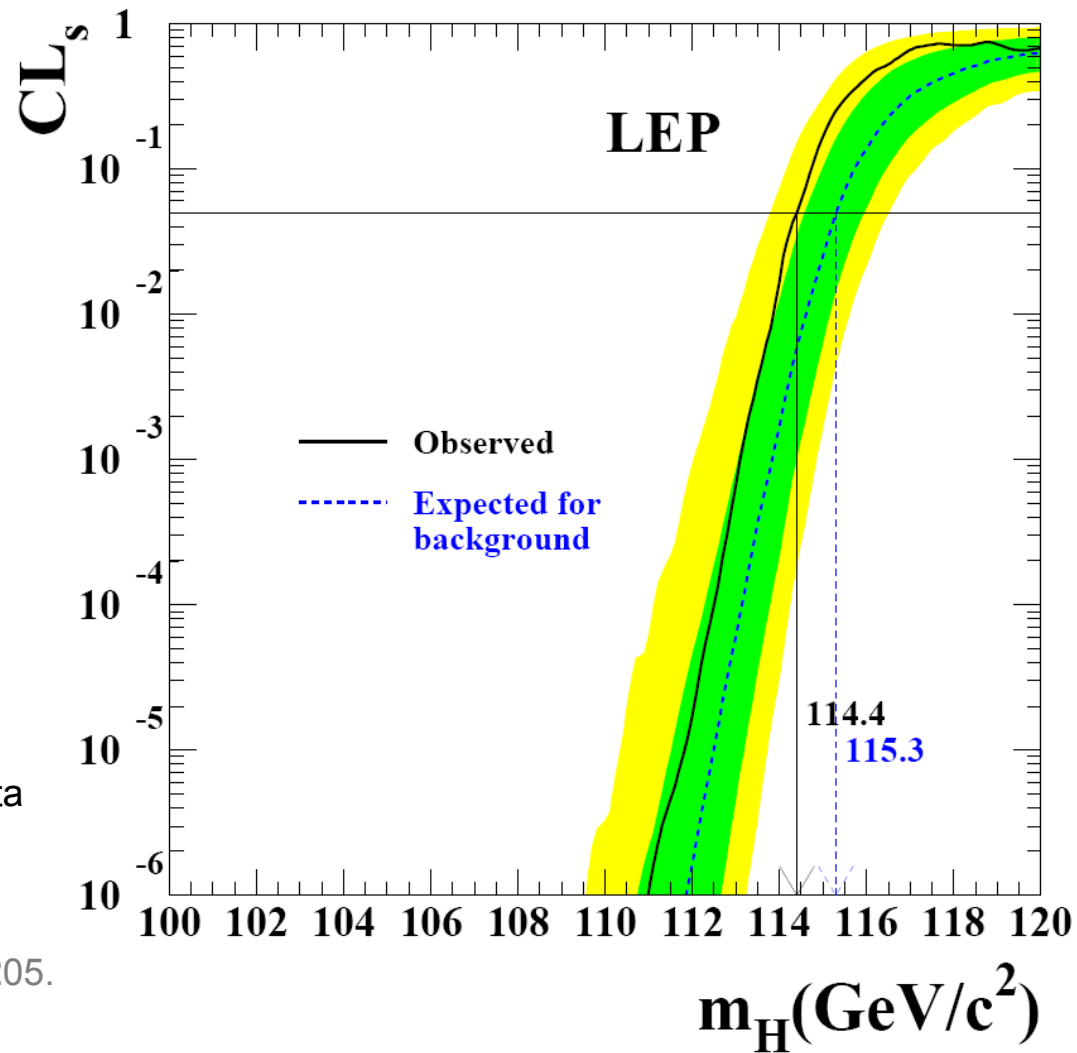


# Canali e esperimenti





# C.L. dell'ipotesi di segnale



Approccio frequentista  
modificato (CLs)

A.L. Read,  
CERN OPEN-2000-205.

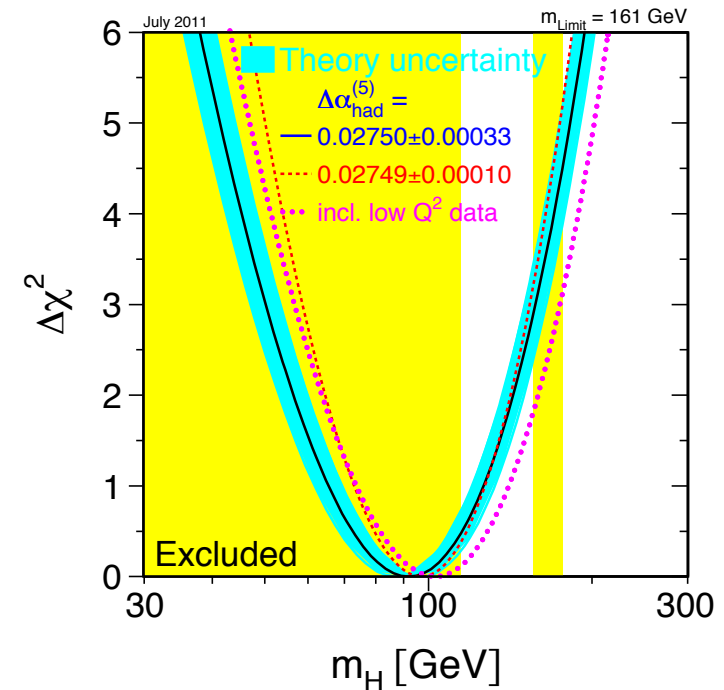
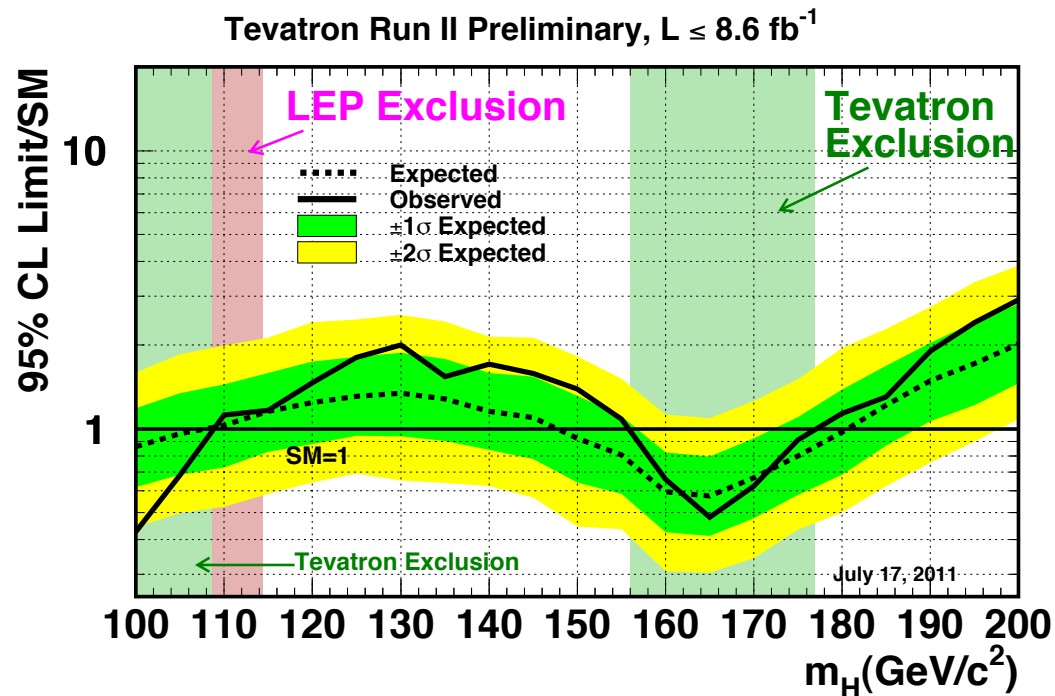
Intervallo escluso:  $m_H < 114.4$  GeV al 95% CL (atteso:  $m_H < 115.3$  GeV)



# Prima di LHC



- Il bosone di Higgs è stato cercato al Tevatron dopo LEP
  - Sono stati stabiliti nuovi limiti alla bosone di Higgs
- Le misure di precisione dei parametri elettrodeboli al LEP permettono di determinare in maniera indiretta, con limitata precisione, l'intervallo di massa preferito, **se esiste il bosone di Higgs**





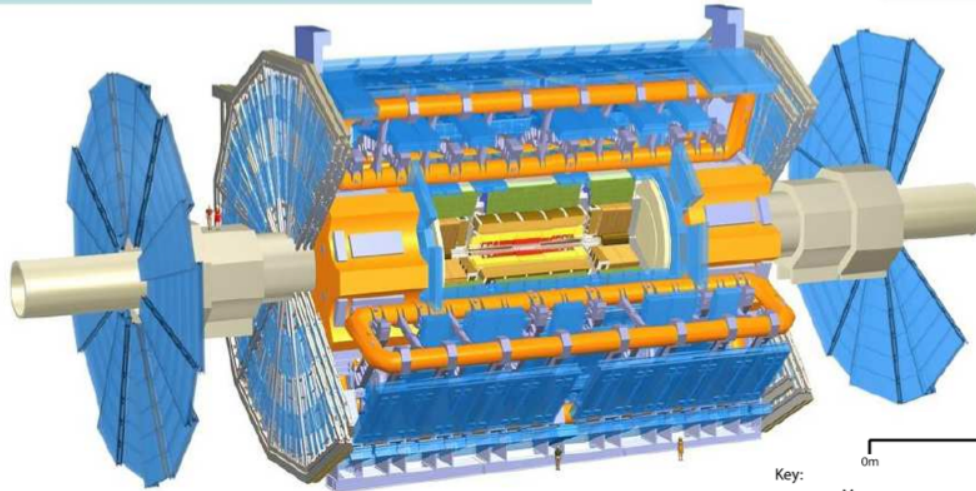
# ATLAS e CMS ad LHC



**Muon Spectrometer:  $|\eta| < 2.7$**   
 Air-core toroids with gas based muon chambers  
 $\sigma(p_T)/p_T = 2\% @ 50\text{GeV}$  to  $10\% @ 1\text{TeV}$  (ID+MS)

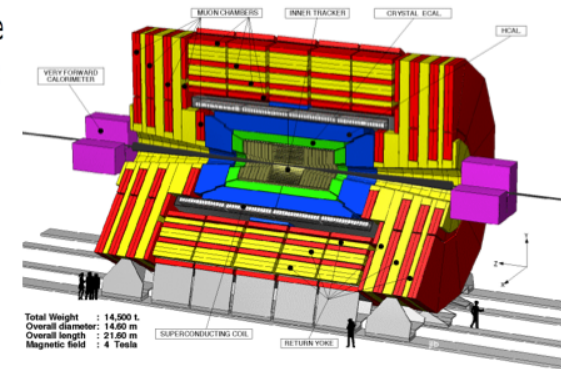
| Detector characteristics |       |
|--------------------------|-------|
| Width:                   | 44m   |
| Diameter:                | 22m   |
| Weight:                  | 7000t |

CERN AC - ATLAS V1997



Barrel assembly + 2 endcaps ; successive layers outwards from the collision region:

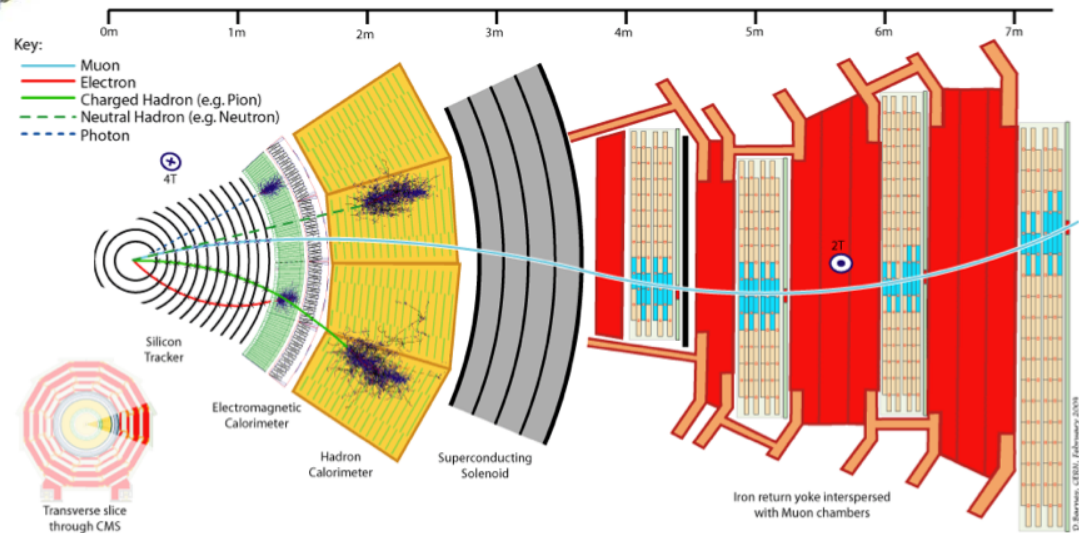
- silicon pixel and strip tracker
- lead-tungstate crystal EM calorimeter
- brass/scintillator hadronic calorimeter
- 3.8T superconducting solenoid
- gas-ionization muon chambers embedded in the steel return yoke



**Inner Detector:  $|\eta| < 2.5, B=2T$**   
 Si pixels/strips and Trans. Rad. Det.  
 $\sigma(p_T)/p_T = 0.05\%$   $p_T \oplus 1\%$

**Hadronic Calorimeter:  $|\eta| < 4.9$**   
 Fe/scintillating Tiles (central), Cu/W LAr (fwd)  
 $\sigma(E_{jet})/E_{jet} = 50\%$   $\vee E \oplus 3\%$

**EM Calorimeter:  $|\eta| < 3.2$**   
 Pb-LAr Accordion  
 $\sigma(E)/E = 10\%$   $\vee E \oplus 0.7\%$



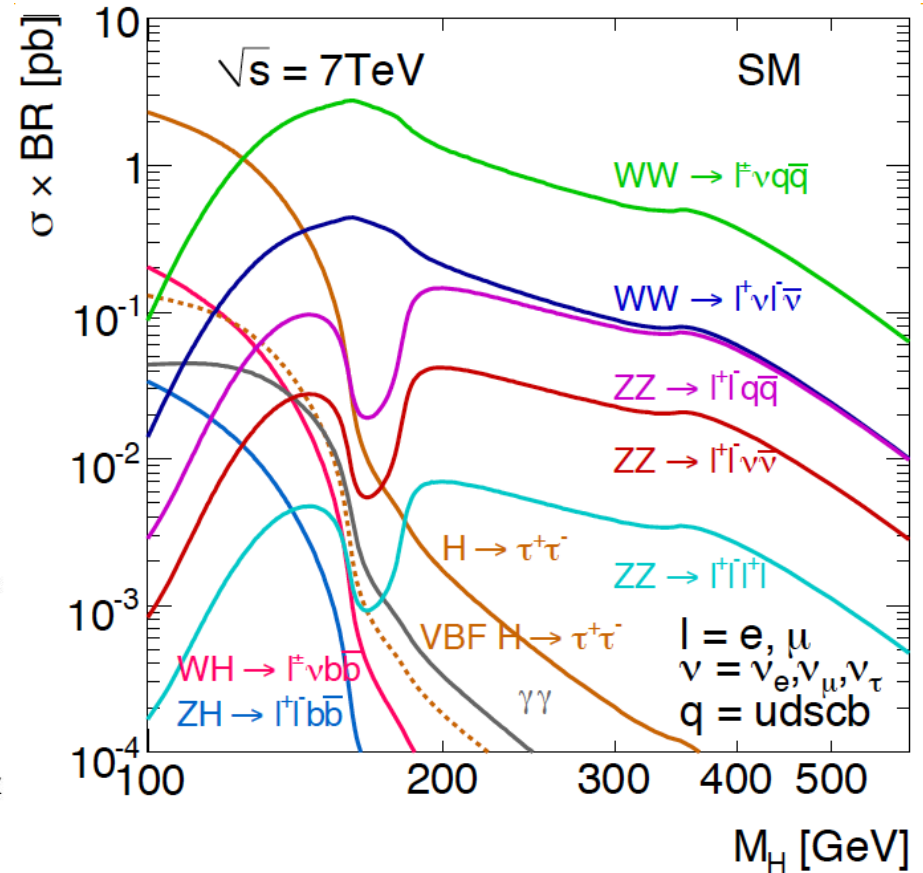
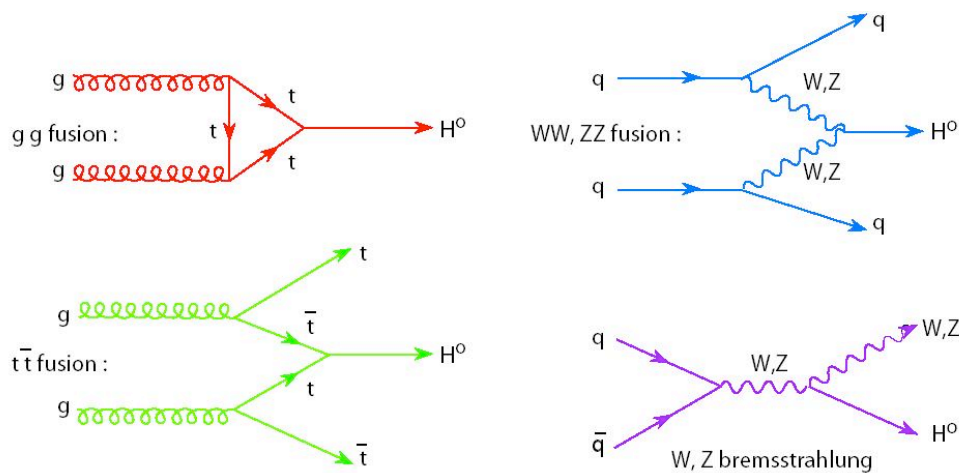




# Produzione di Higgs a LHC

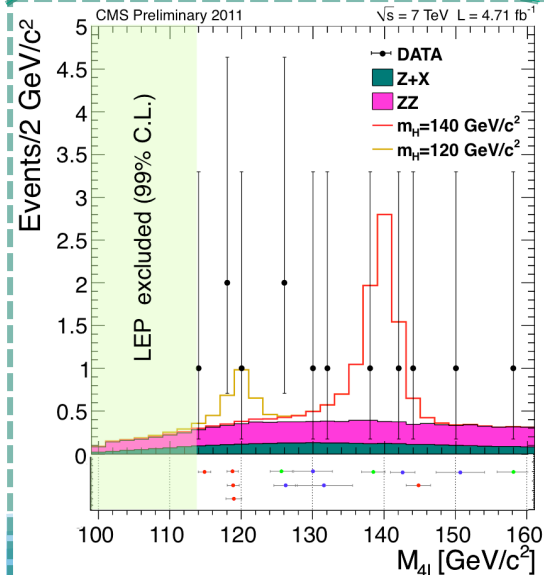
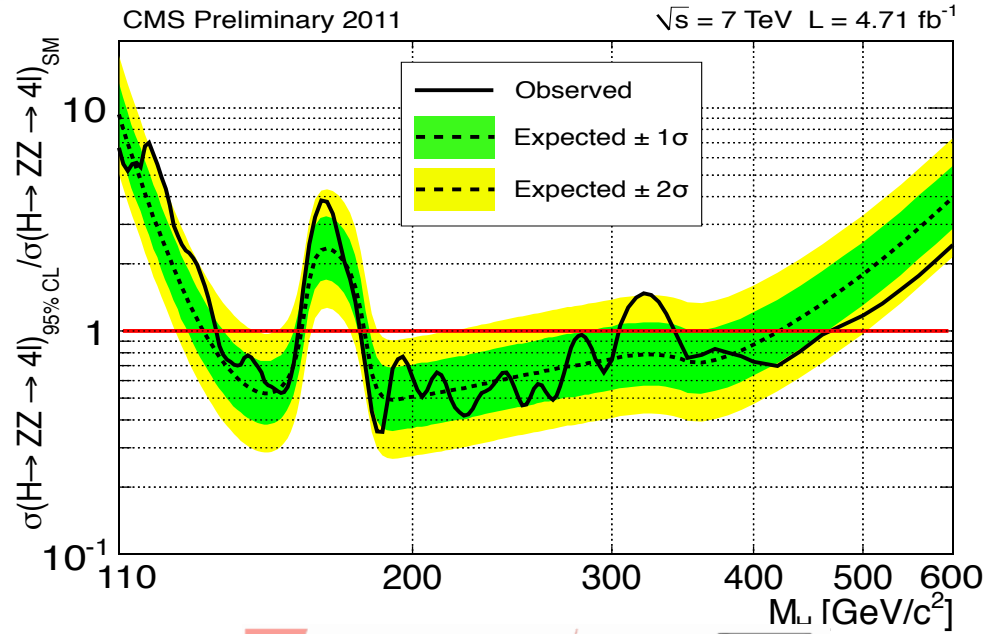
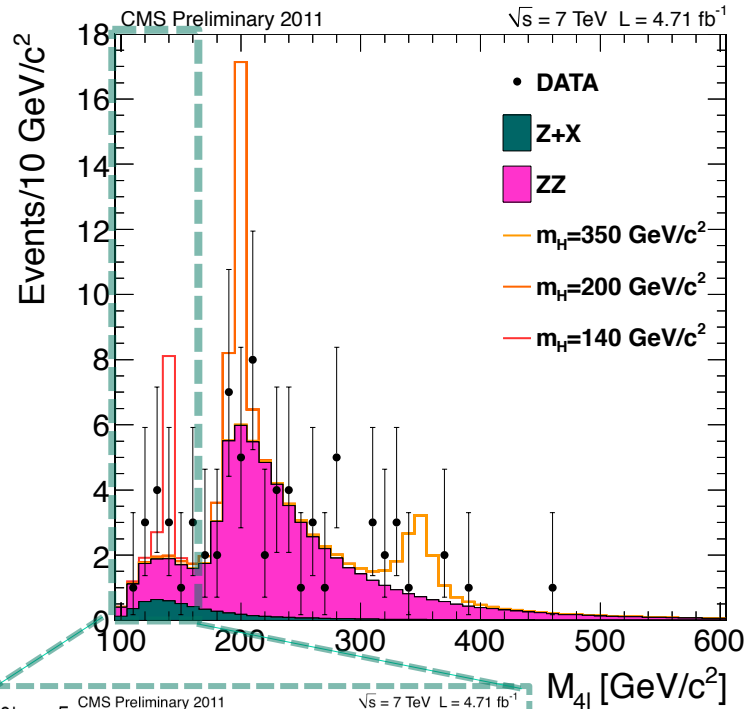


- Il bosone di Higgs interagisce più facilmente con **particelle pesanti** (top, Z, W, b, ...)
- I meccanismi più abbondanti sono “gluon fusion” e “vector-boson fusion”

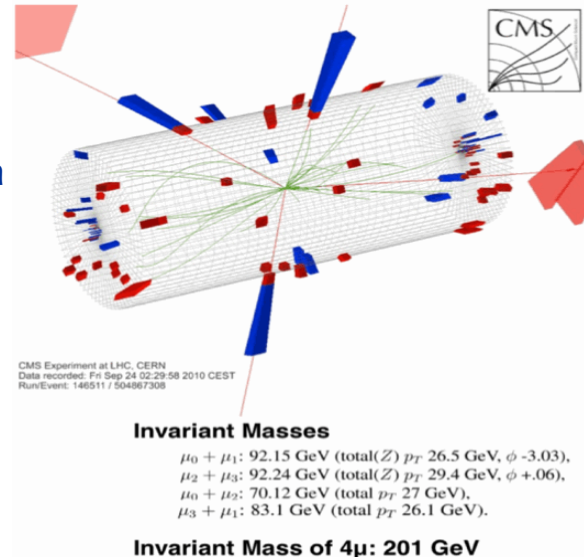




# Il canale "golden": $H \rightarrow ZZ \rightarrow 4l$ ( $l=e, \mu$ )

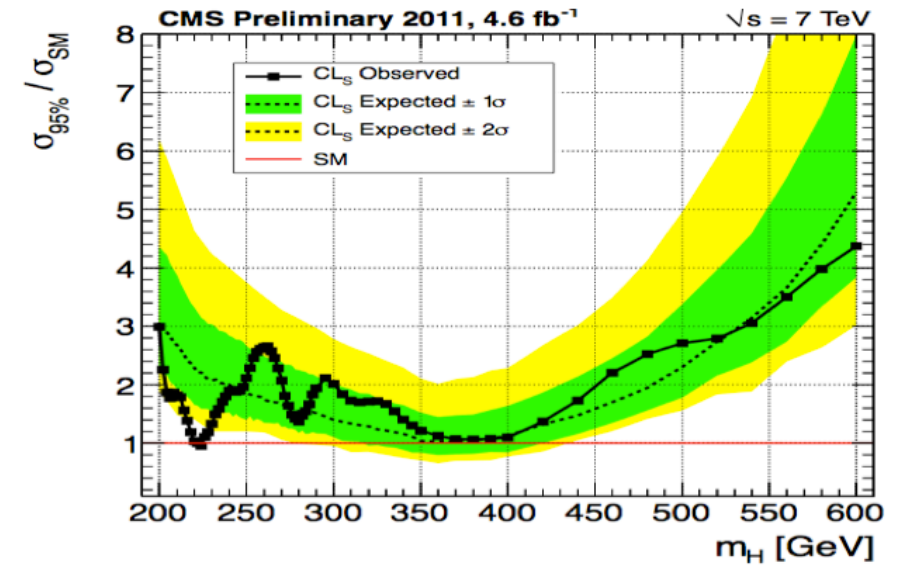
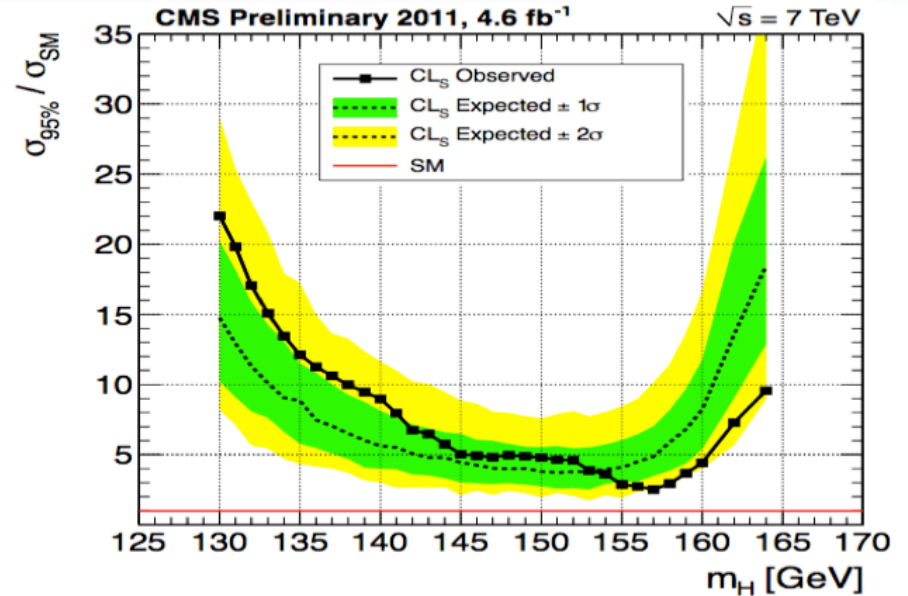
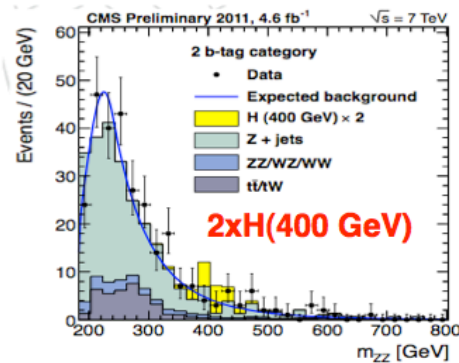
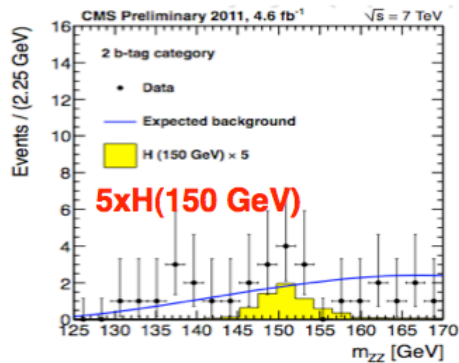
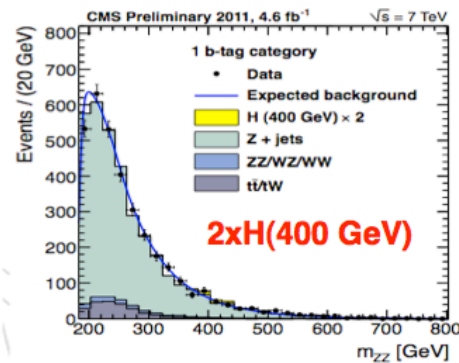
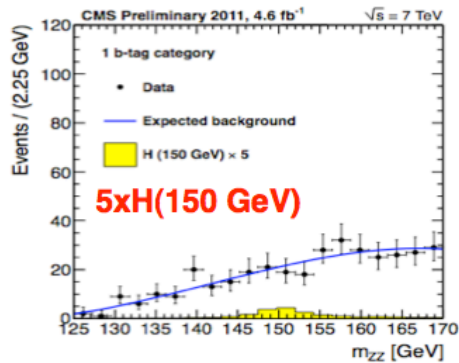
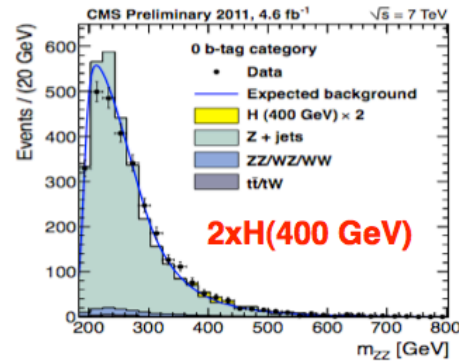
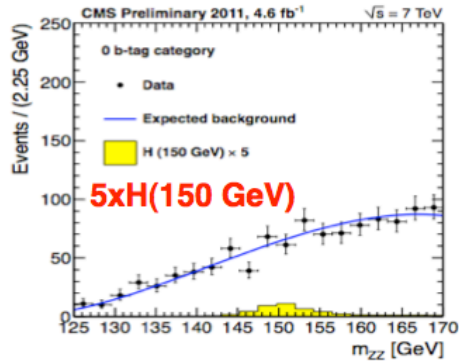


La risoluzione in massa è ~2-3 GeV

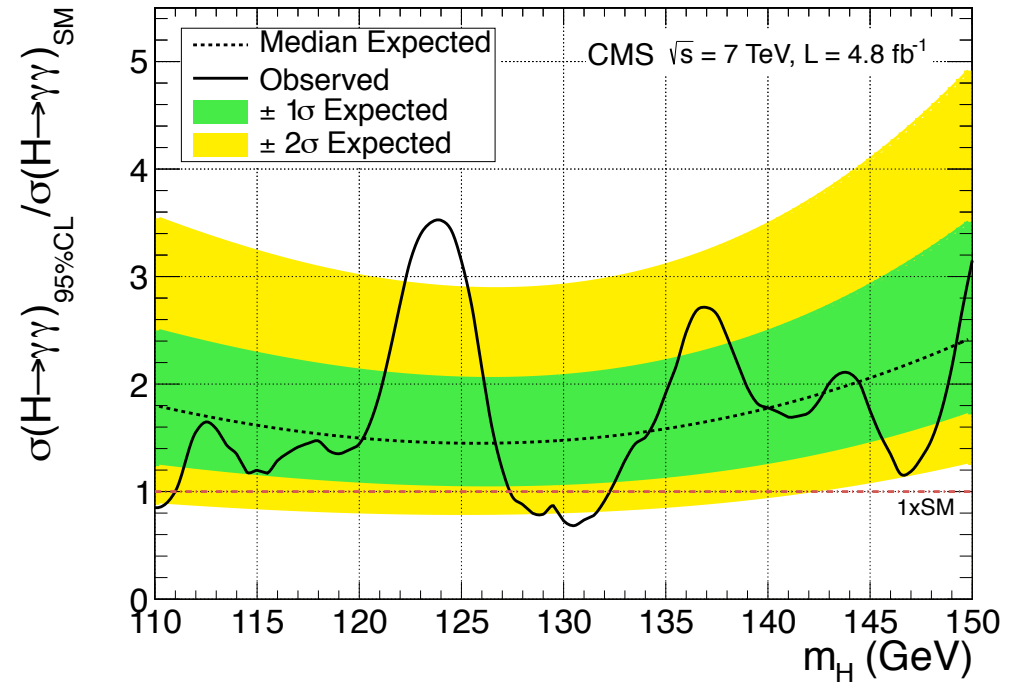
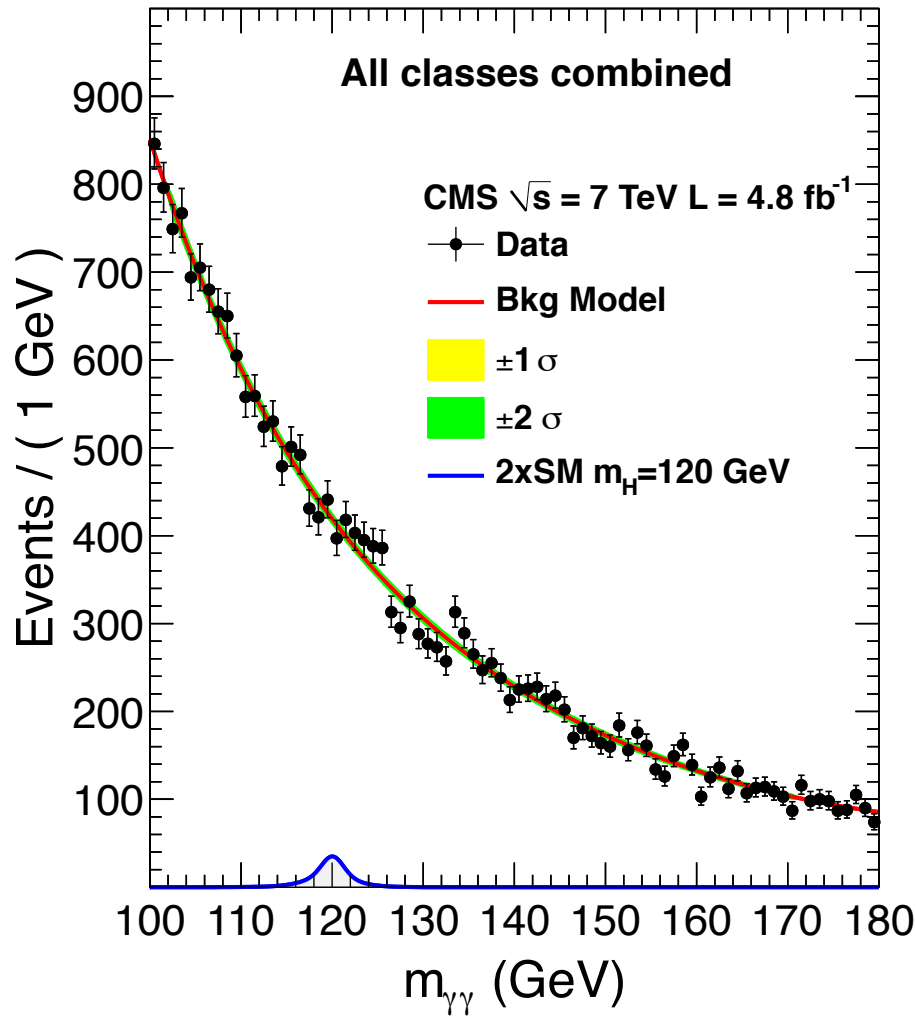




# Il canale $H \rightarrow ZZ \rightarrow 2l2q$ ( $l=e, \mu$ )



- Canale con molto fondo

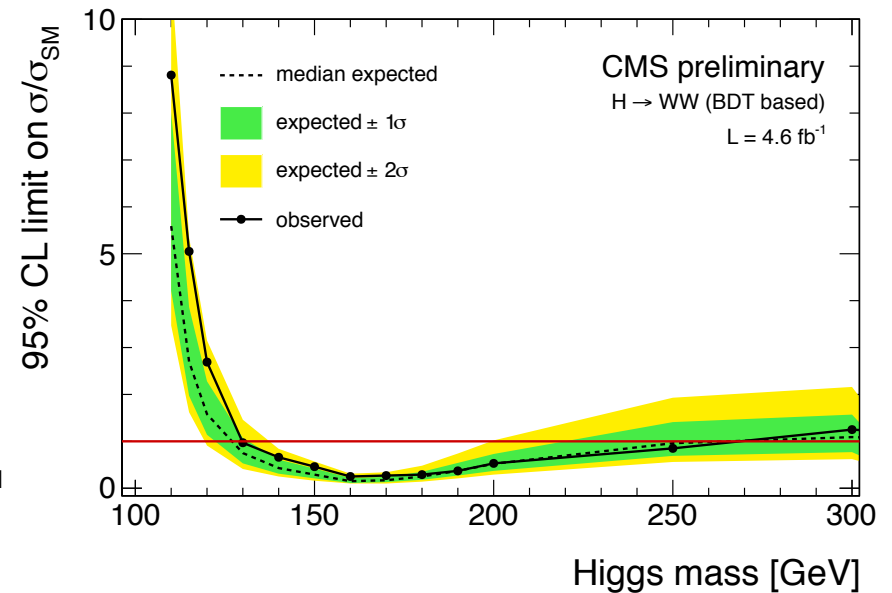
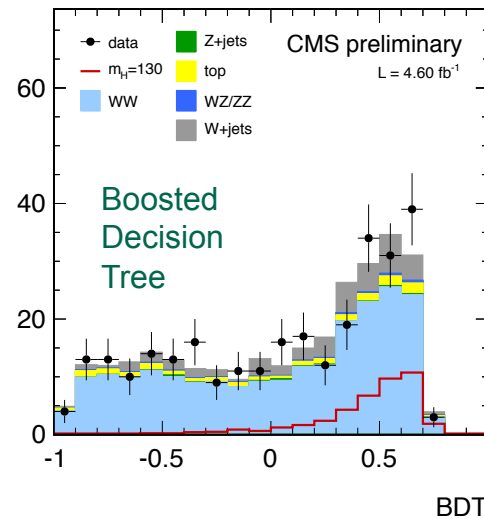
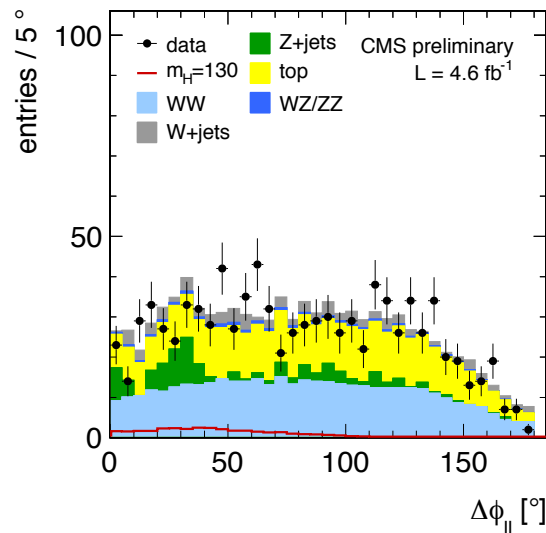
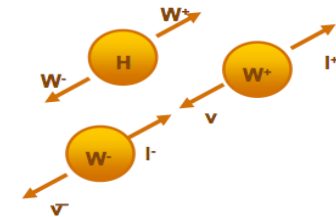




# $H \rightarrow WW \rightarrow 2l2\nu$

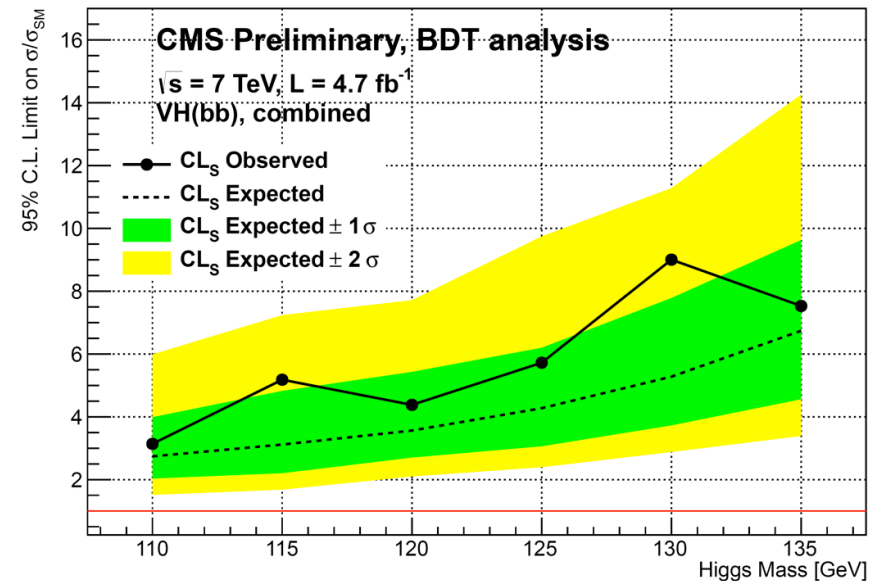
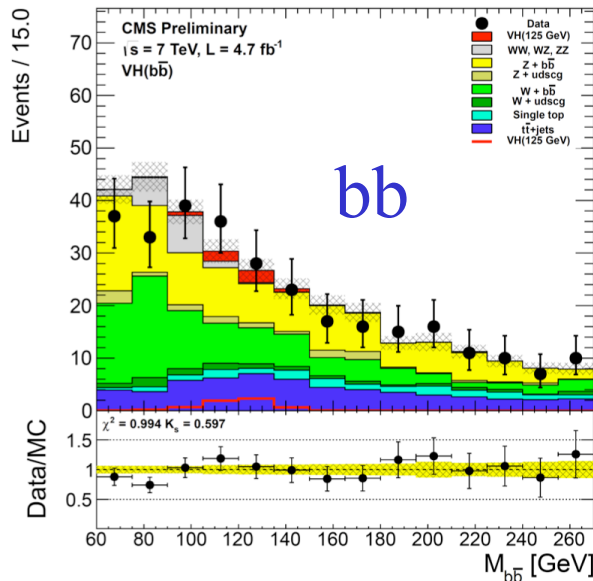
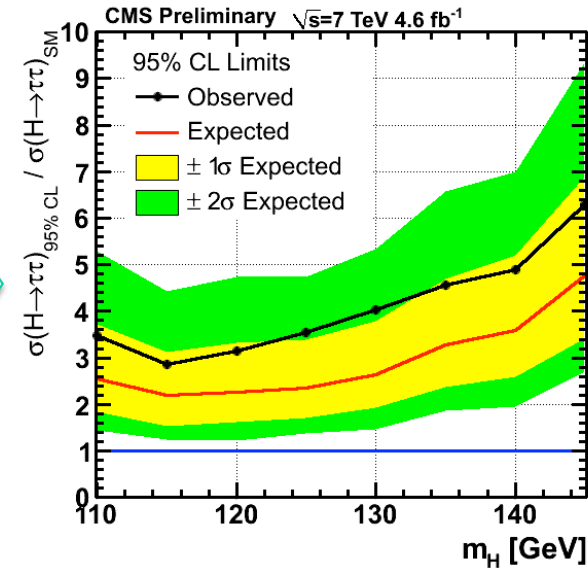
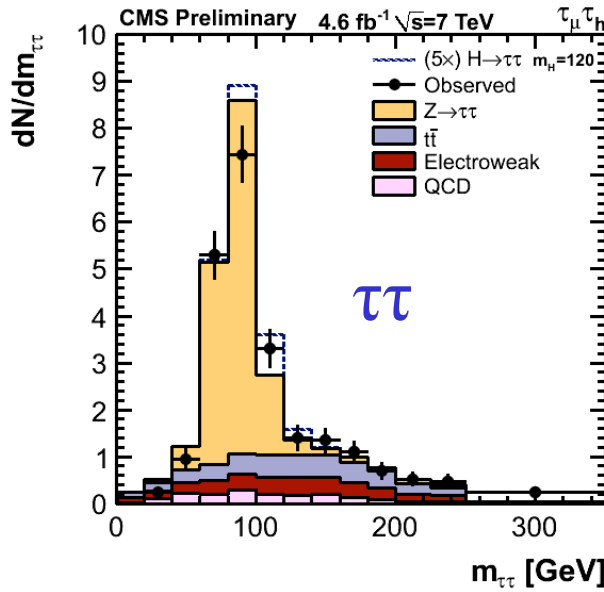


- Non è possibile ricostruire la massa del bosone per la presenza dei neutrini
- Il segnale si discrimina dal fondo per la diversa **distribuzione angolare** (il bosone di Higgs a **spin zero**)
  - I due leptoni tendono ad essere **allineati** in eventi Higgs
- Un'analisi **multivariata** permette di massimizzare la separazione segnale/fondo





# Altri canali sensibili a bassa massa

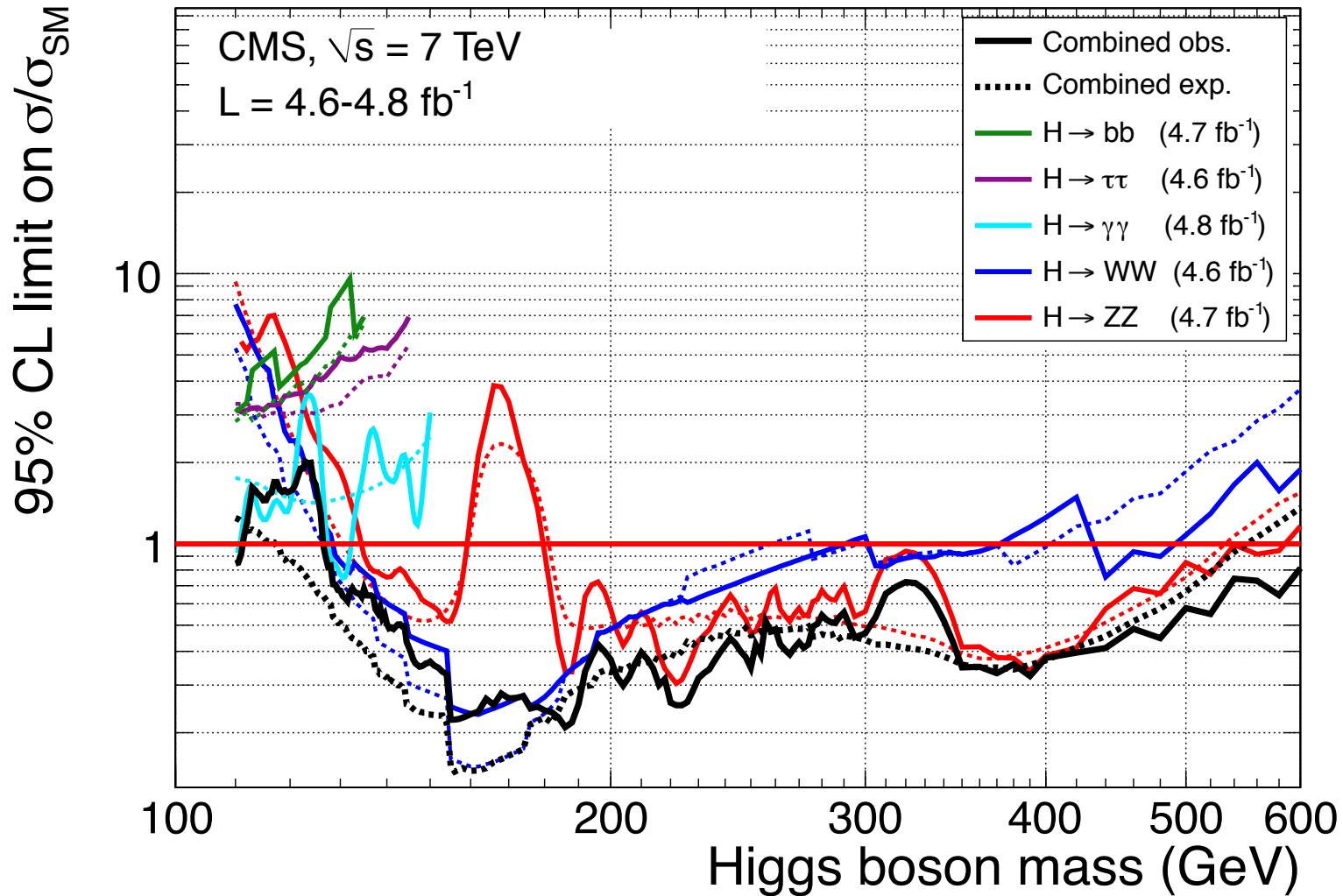




# Limite combinato a $\sigma / \sigma_{SM}$



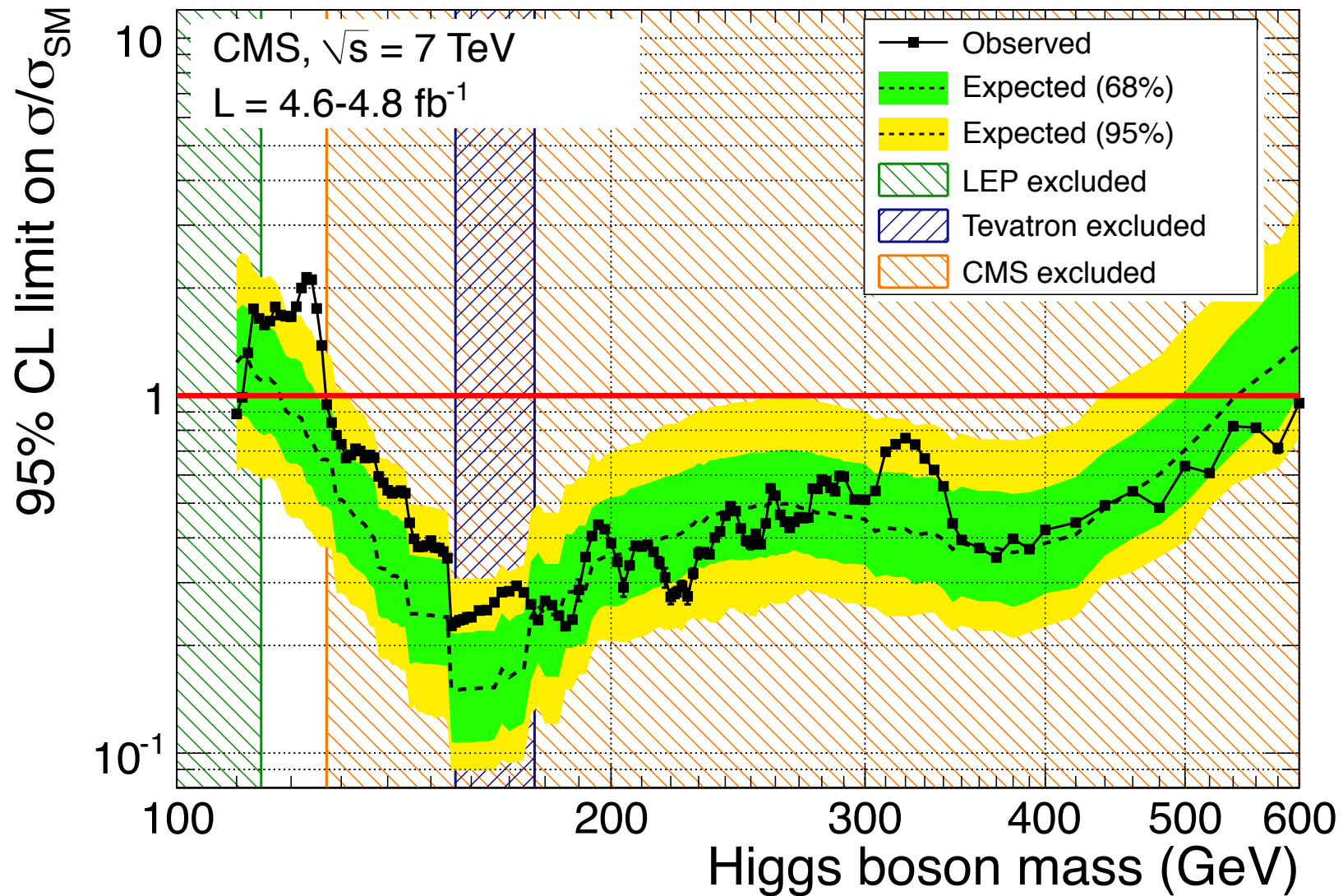
Phys. Lett. B 710 (2012) 26-48, arXiv:1202.1488



Intervallo escluso: 127–600 GeV al 95% CL (atteso: 114.5–543 GeV)



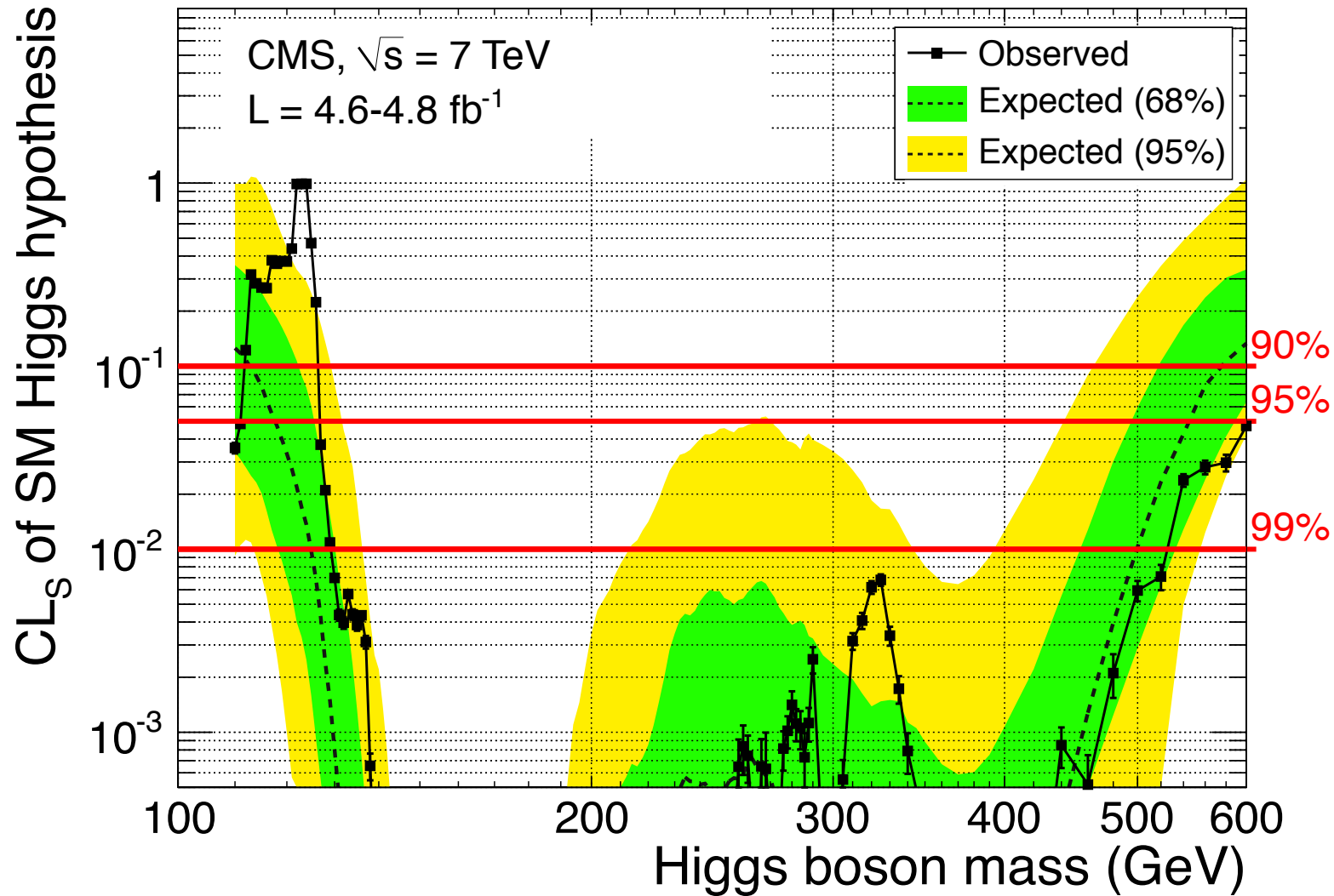
# Esclusione al 95% CL



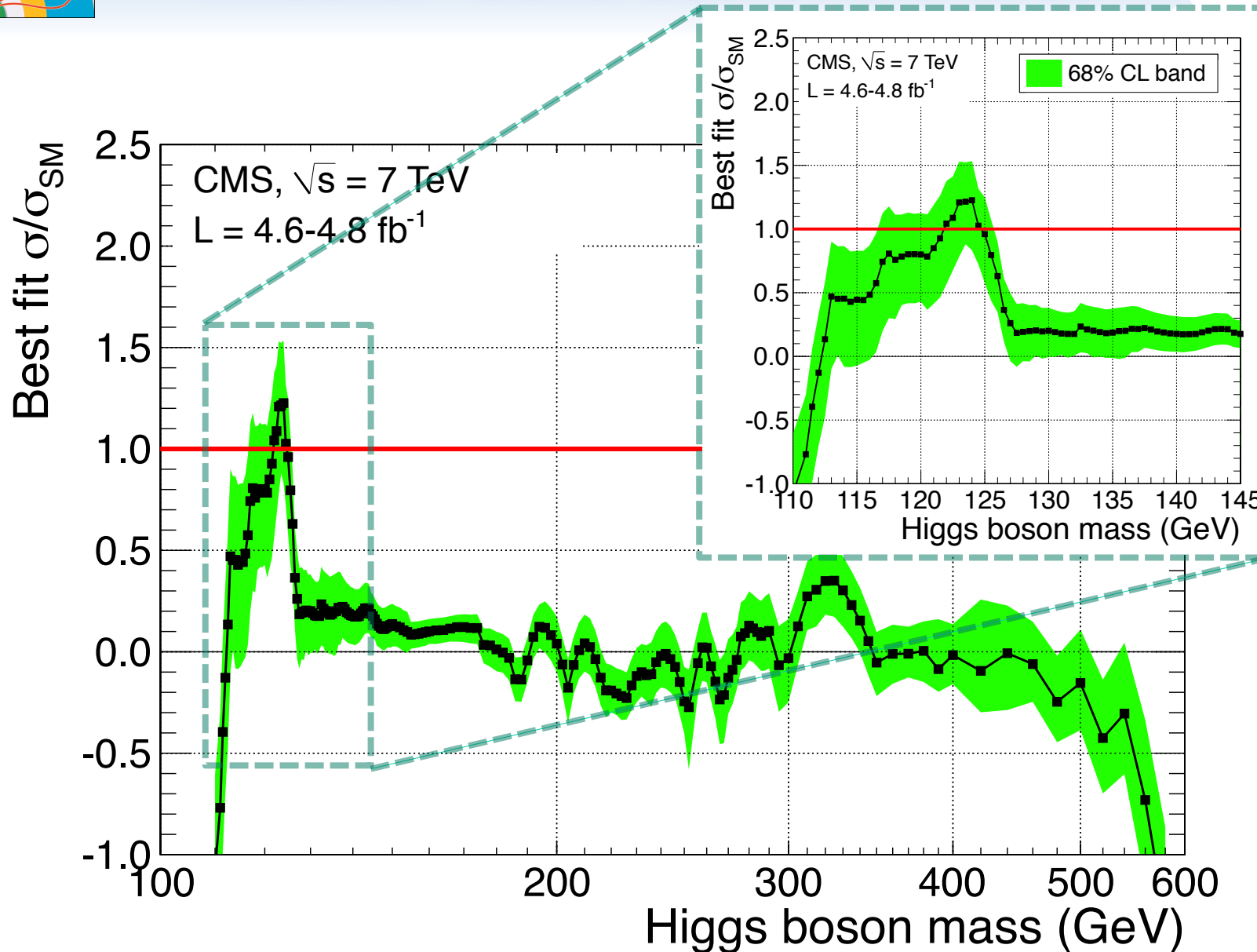




# Dal 95% al 99% cosa cambia?



Intervallo escluso: 127–600 GeV at 95% CL, 129–525 GeV at 99% CL

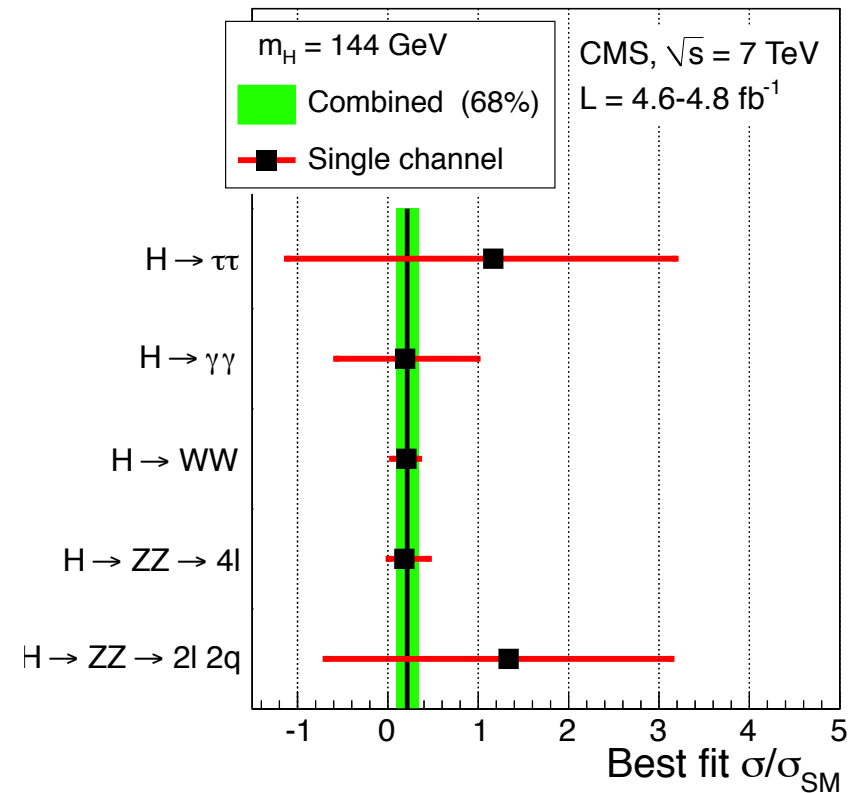
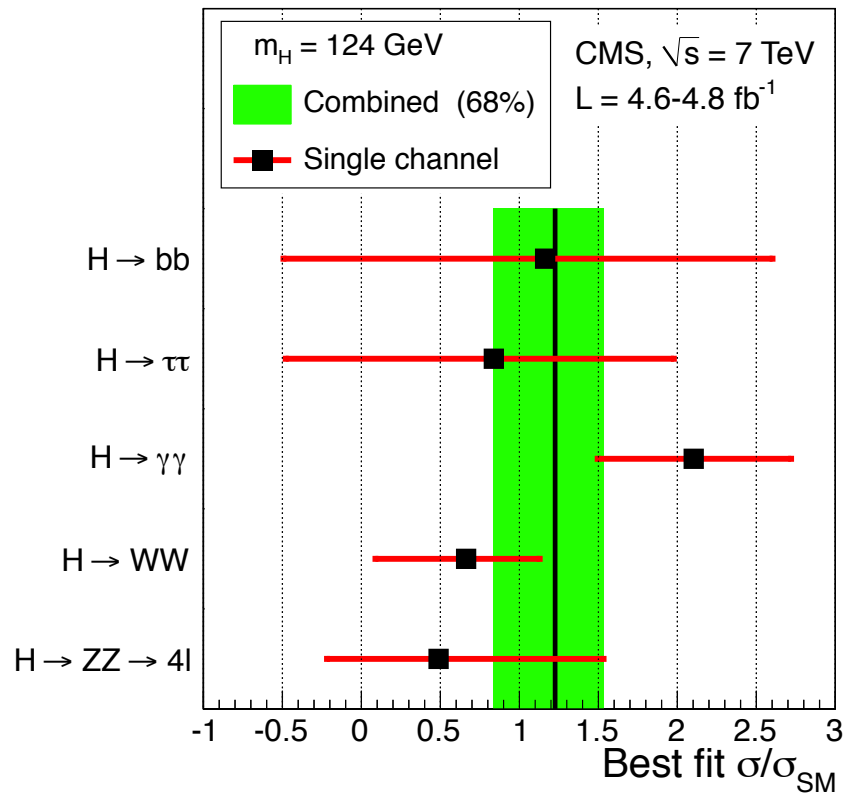




# Confronto tra canali diversi



- Best fit  $\sigma/\sigma_{SM}$  separatamente nei vari canali
- Un modesto eccesso è presente consistentemente in tutti i canali nella regione di bassa massa.

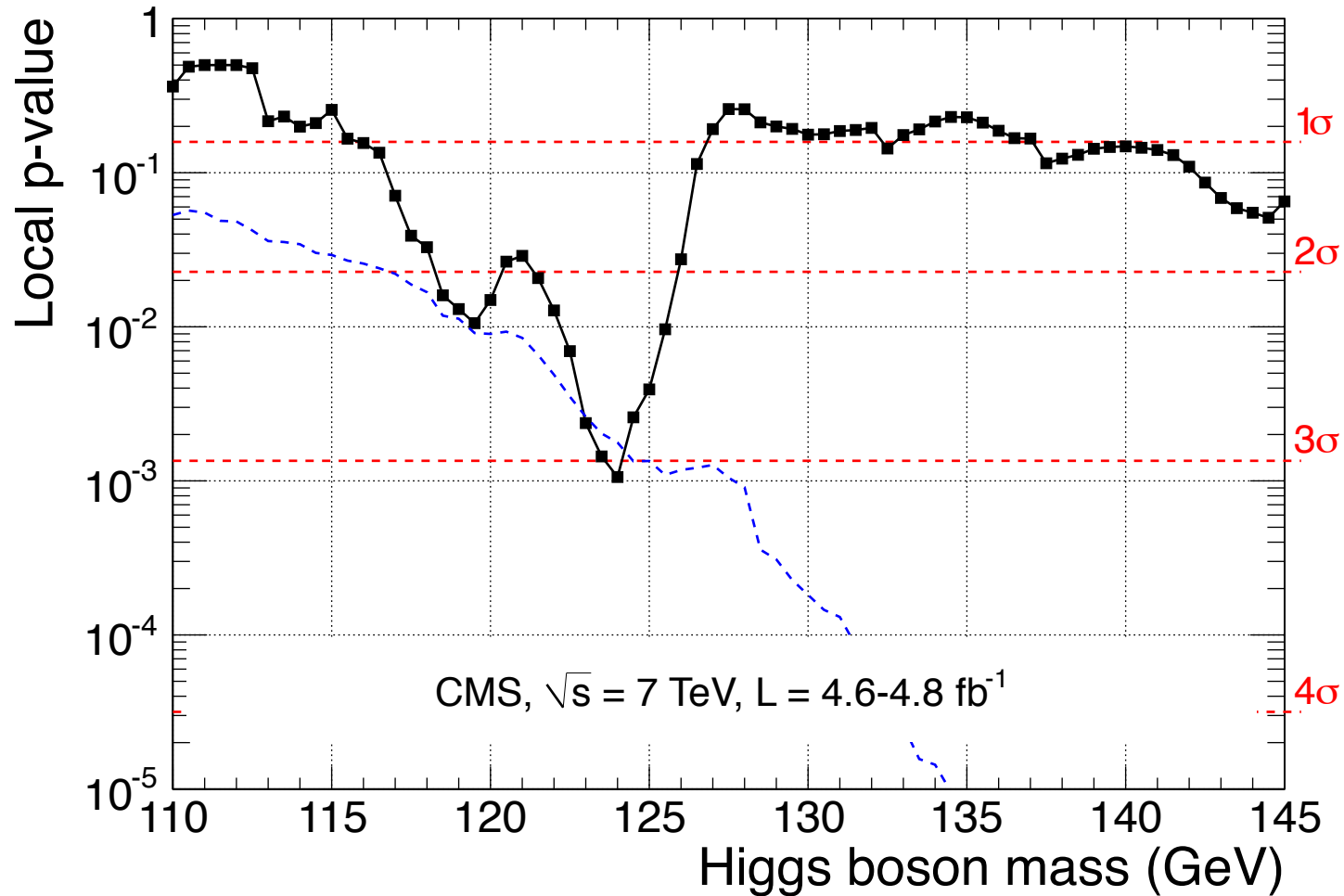




# “Indizio” o fluttuazione?



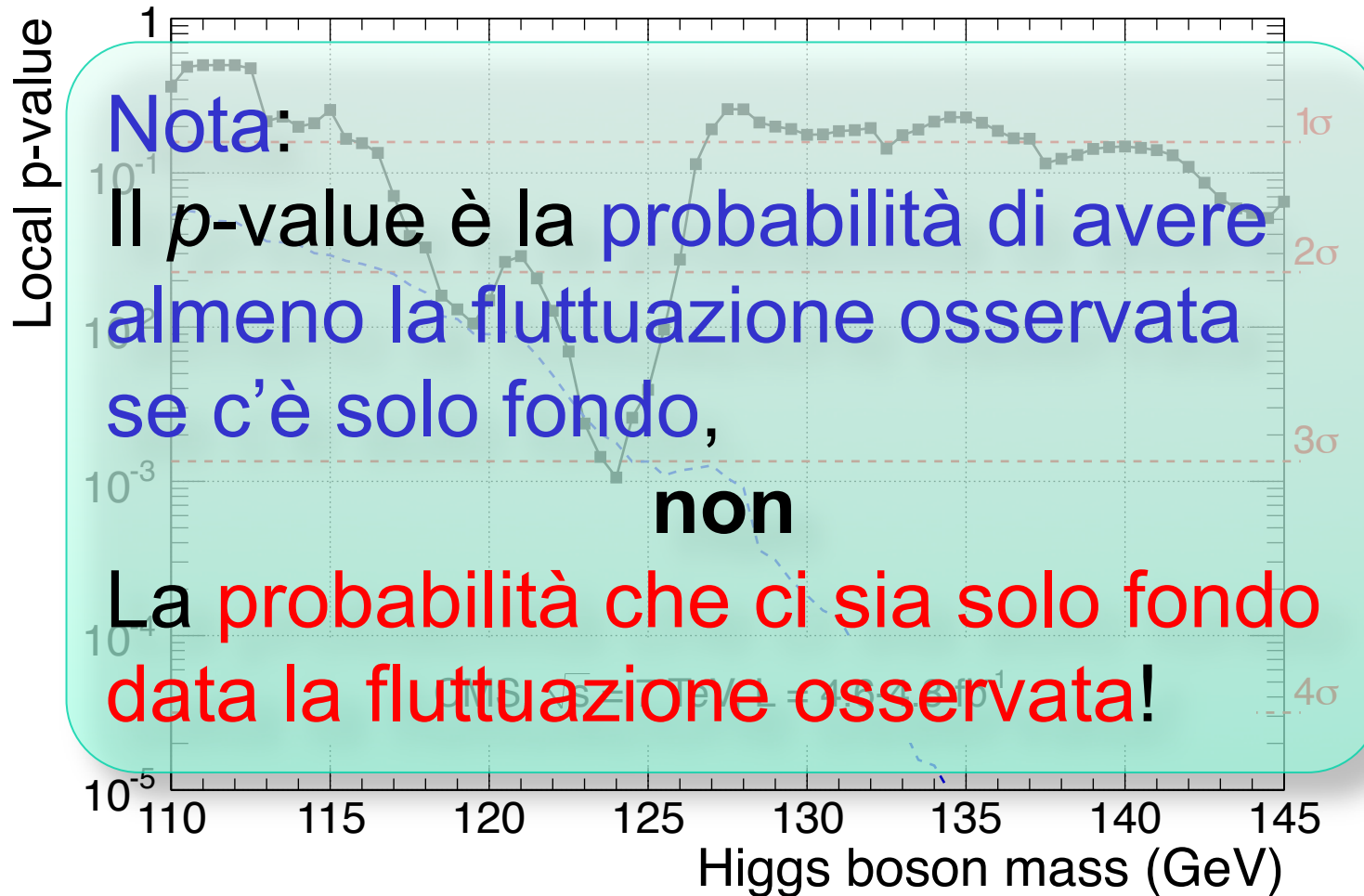
Probabilità di avere una fluttuazione del fondo  $\geq$  di quella osservata



Significatività globale (LEE):  $2.1\sigma$  (110-145 GeV) or  $1.5\sigma$  (110-600 GeV)



# “Indizio” o fluttuazione?



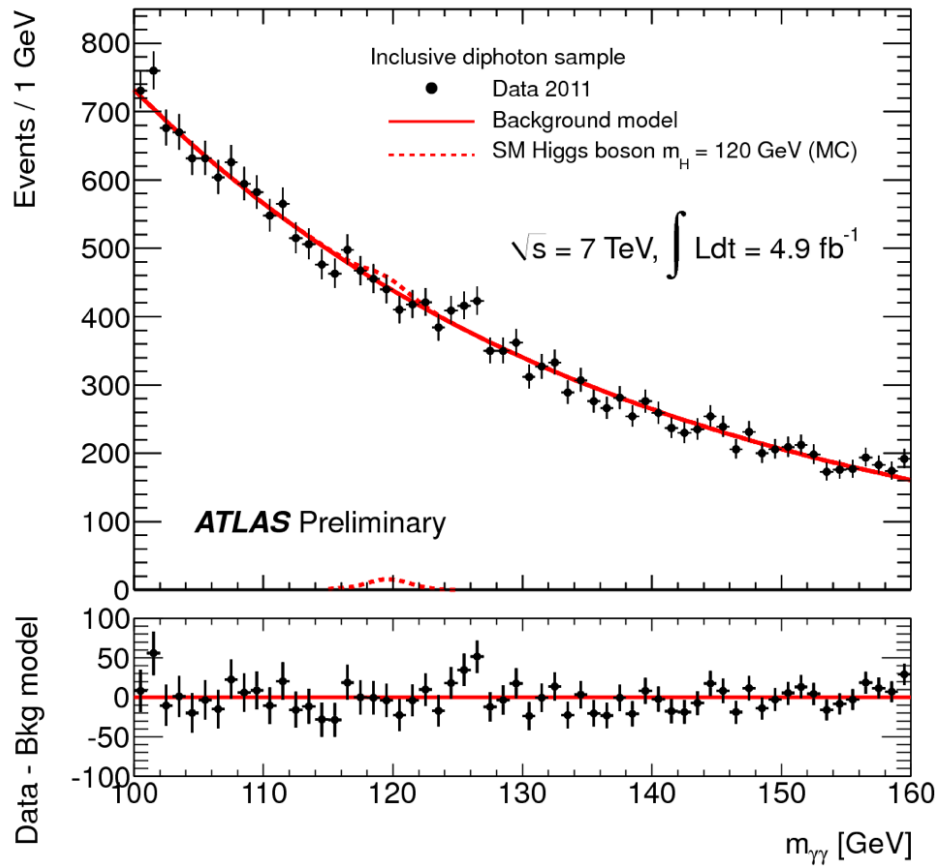
Significatività globale (LEE): 2.1σ (110-145GeV) or 1.5σ (110-600 GeV)



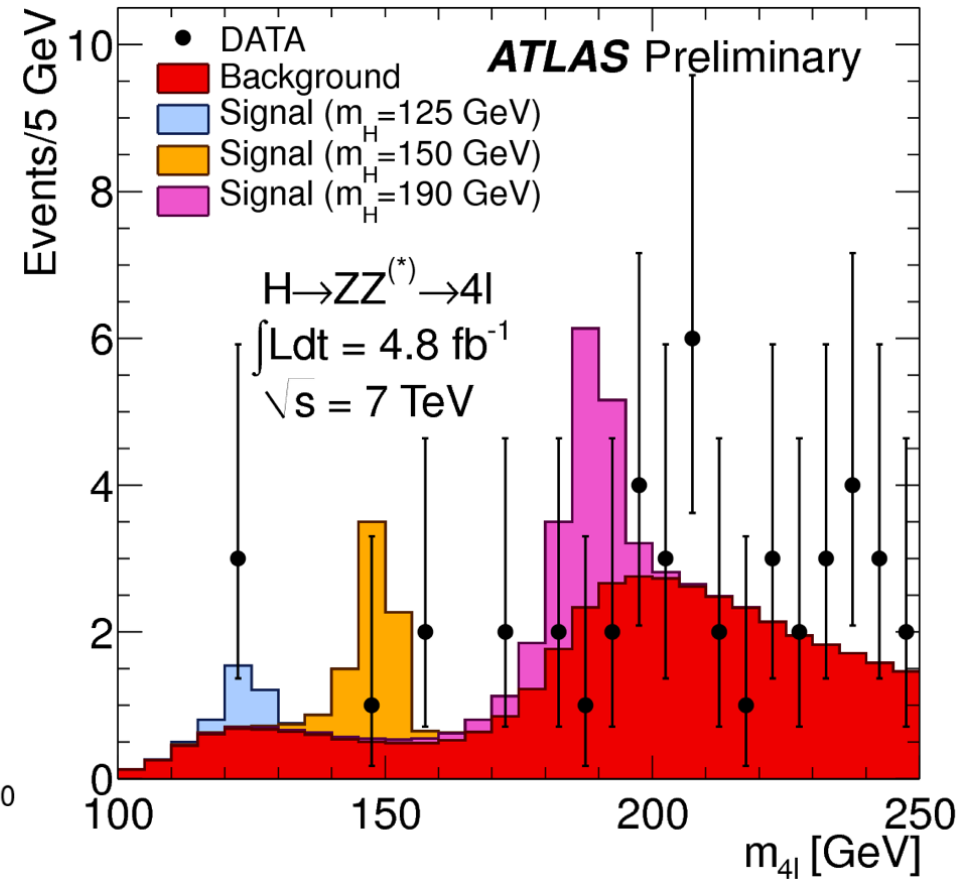
# ATLAS: $\gamma\gamma, 4l$



arXiv:1202.1414



arXiv:1202.1415

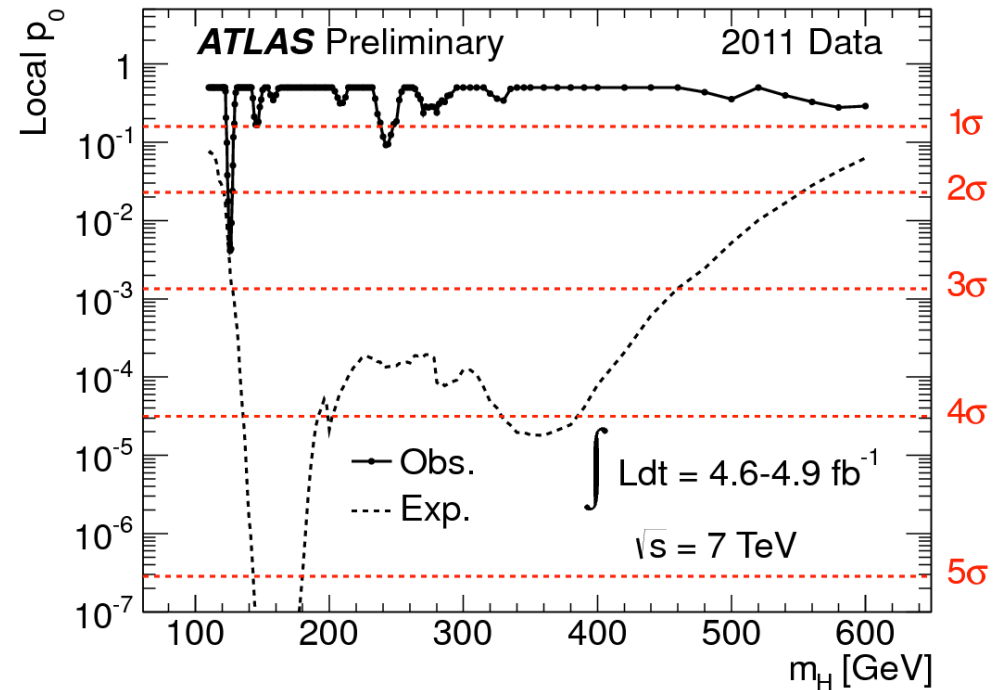
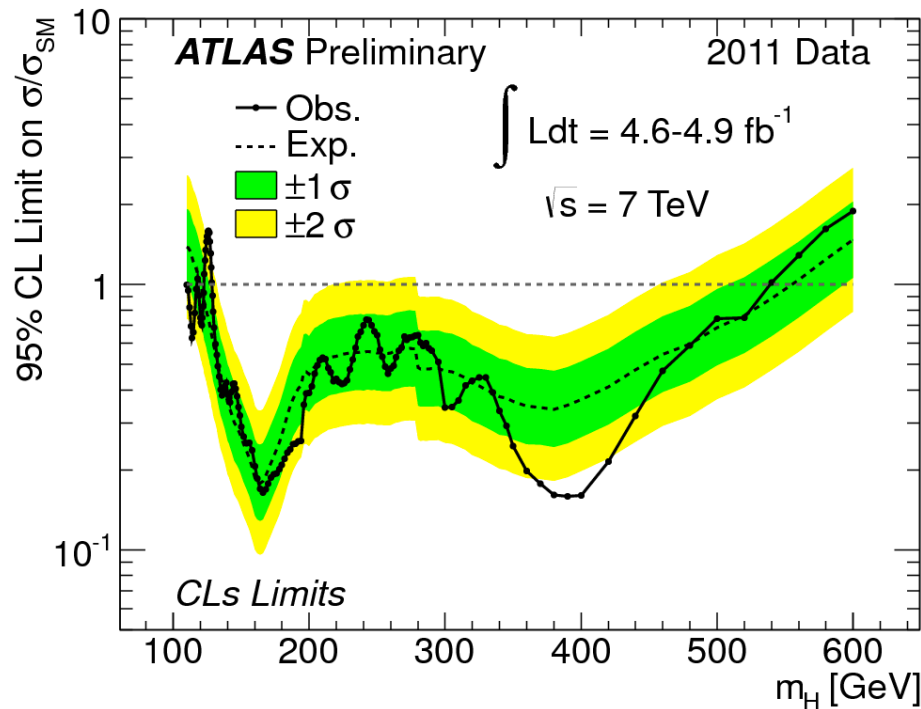




# ATLAS: limite combinato



arXiv:1202.1408  
ATLAS-CONF-2012-019



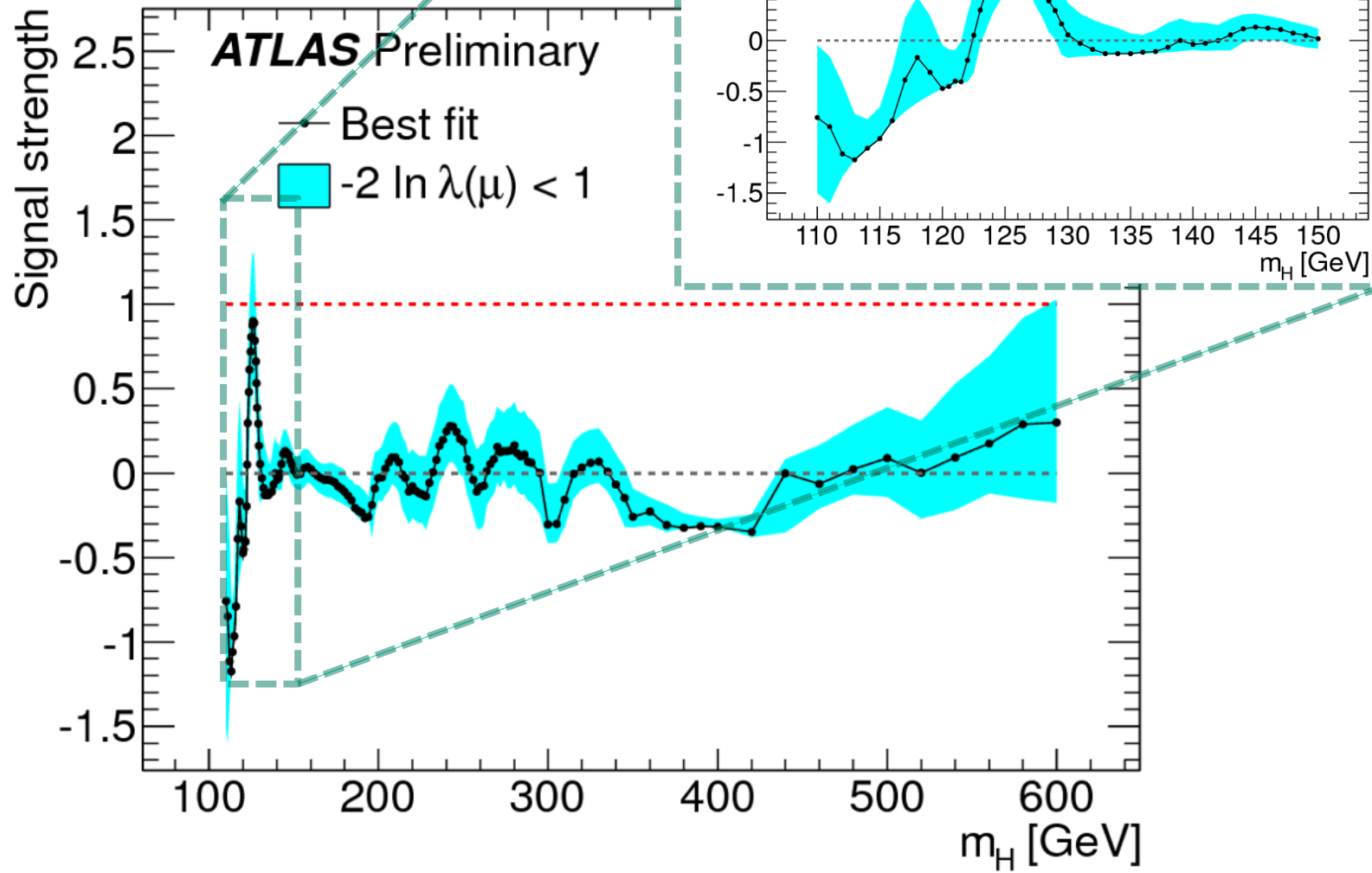
- Significatività locale:  $2.8\sigma$  ( $\gamma\gamma$ ),  $2.1\sigma$  ( $ZZ^* \rightarrow 4l$ ),  $1.4\sigma$  ( $WW^* \rightarrow l\nu l\nu$ )
- Significatività globale (LEE)  $2.2\sigma$  (110-600 GeV)
- Intervalli esclusi: (95% CL): 110–115.5 GeV, 118.5-122.5 GeV, 129–539 GeV (atteso: 120–550 GeV)



# ATLAS



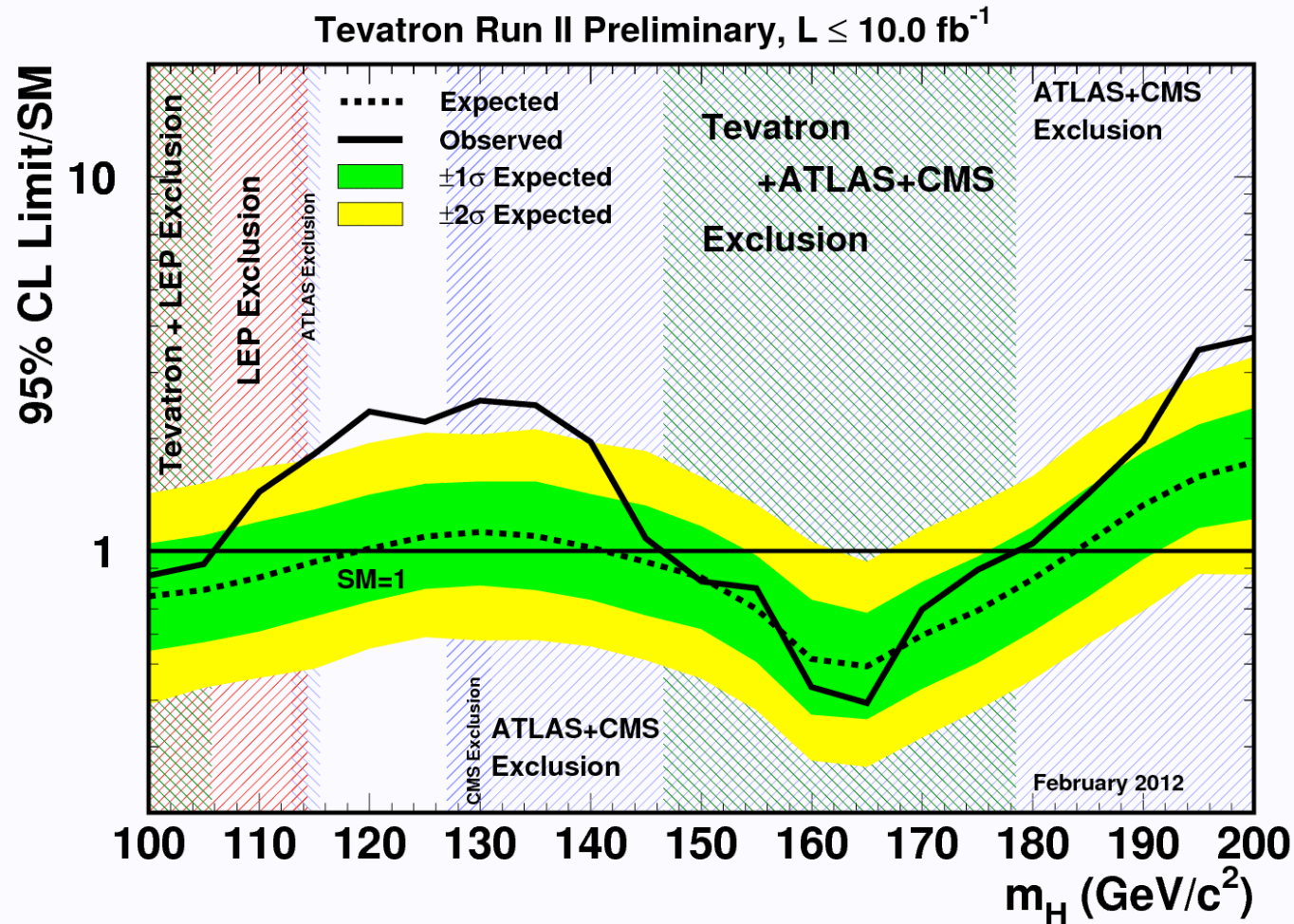
“sezione d’urto”







# Ultimi risultati da Tevatron

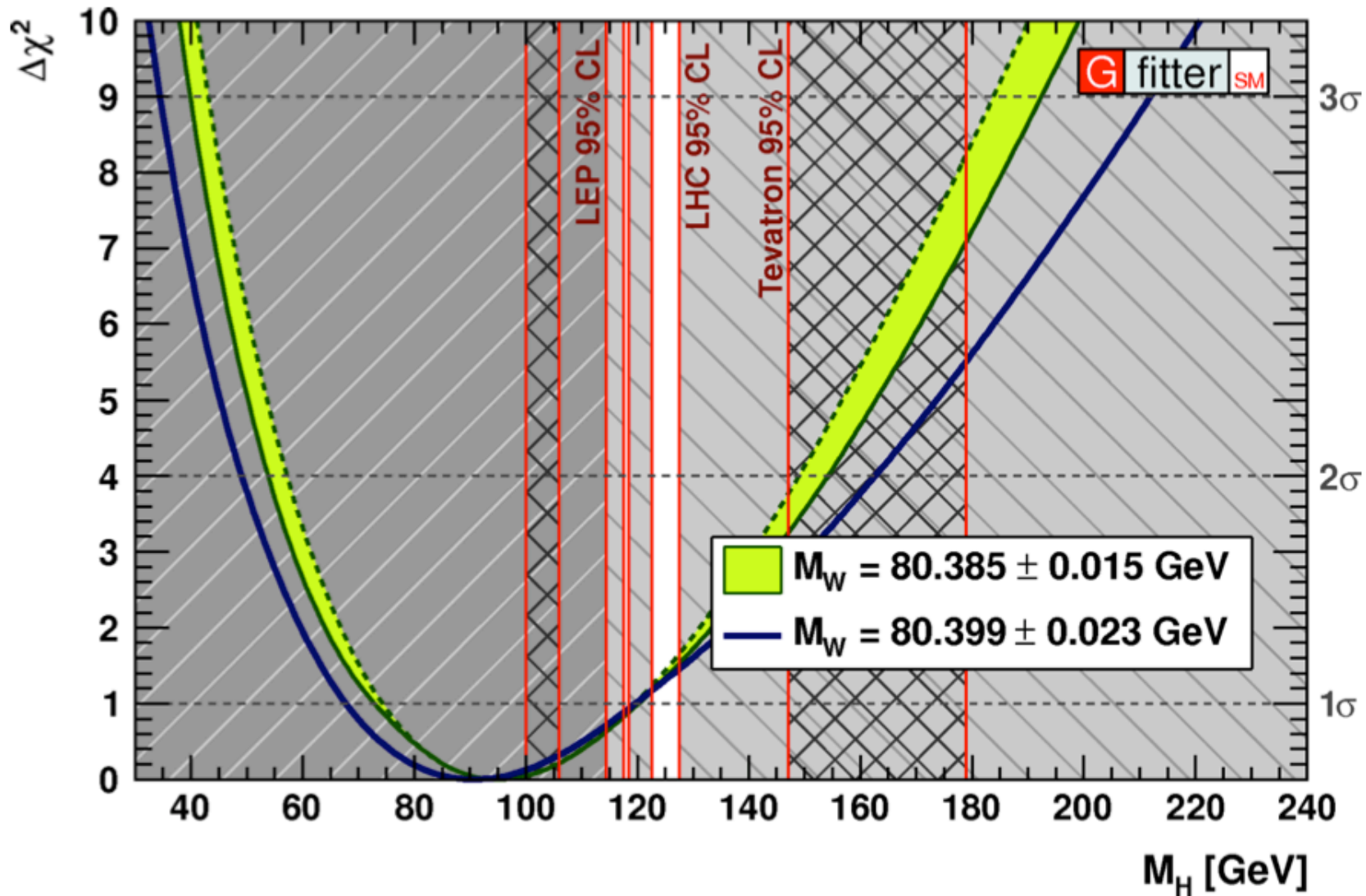


arXiv:1203.3774

- Intervalli esclusi: 100-107 GeV, 147-179, attesi: 100-119 GeV, 141-184 GeV
- Significatività locale (120 GeV):  $2.7\sigma$ , significatività globale (LEE);  $2.2\sigma$



# Nuovo fit al modello standard

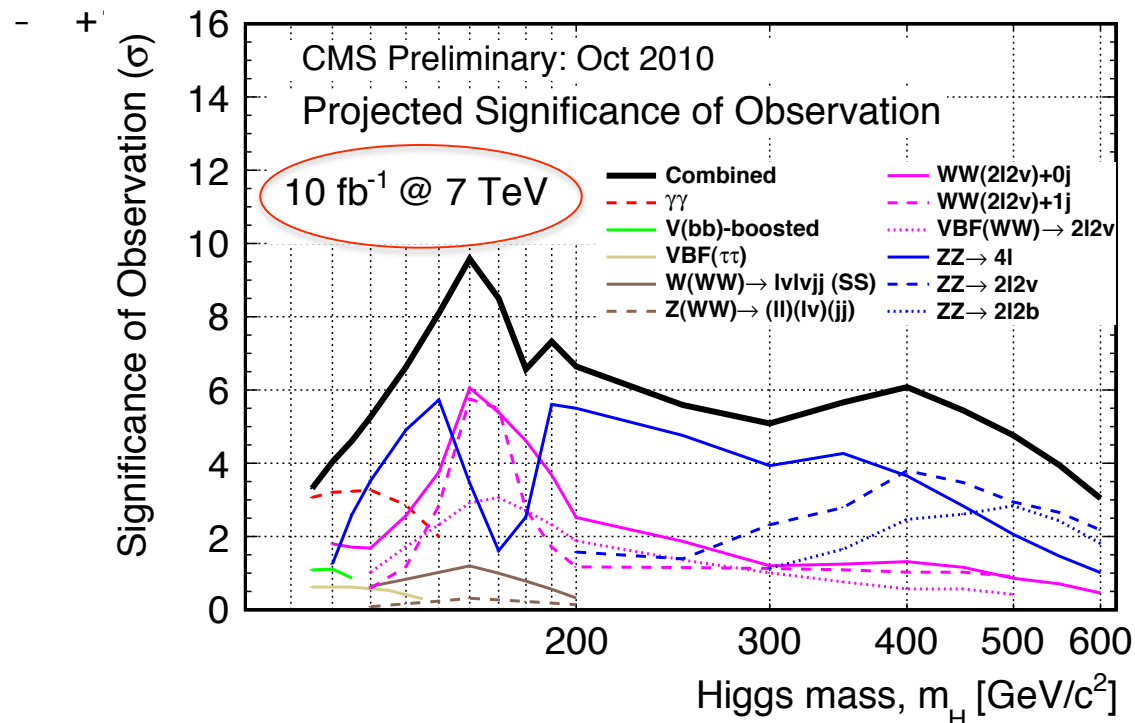




# Conclusioni e prospettive



- L'energia è stata aumentata da 7 a 8 TeV. Le prime collisioni sono appena cominciate
- Nel 2012 LHC dovrebbe fornire circa 4 volte l'attuale luminosità integrata ( $\sim 20\text{fb}^{-1}$ )



- La scoperta o l'esclusione del bosone di Higgs è molto probabile entro il 2012